

REPUBLIQUE ALGERIENNE DEMOCRATIQUE ET POPULAIRE

MINISTERE DE L'ENSEIGNEMENT SUPERIEUR ET DE LA RECHERCHE SCIENTIFIQUE

2/83

UNIVERSITE DES SCIENCES ET DE LA TECHNOLOGIE
« HOUARI BOUMEDIENNE »

lex

ECOLE NATIONALE POLYTECHNIQUE

المدرسة الوطنية المتعددة التقنيات
BIBLIOTHEQUE — المكتبة
Ecole Nationale Polytechnique

Département Génie - Mécanique

PROJET DE FIN D'ETUDES

—»O«—

THEME

**VIBRO-ISOLATION OPTIMUM DES
EXCITATIONS STOCHASTIQUES**

Promoteur :

Mr Marek KSIAZEK

Etudiant :

Chérif AHRIKENCHEIKH

PROMOTION JUIN 1983

REPUBLIQUE ALGERIENNE DEMOCRATIQUE ET POPULAIRE

MINISTERE DE L'ENSEIGNEMENT SUPERIEUR ET DE LA RECHERCHE SCIENTIFIQUE

UNIVERSITE DES SCIENCES ET DE LA TECHNOLOGIE
« HOUARI BOUMEDIENNE »

ECOLE NATIONALE POLYTECHNIQUE



Département Génie - Mécanique

PROJET DE FIN D'ETUDES

»O«

THEME

**VIBRO-ISOLATION OPTIMUM DES
EXCITATIONS STOCHASTIQUES**

Promoteur :

Mr Marek KSIAZEK

Etudiant :

Chérif AHRIKENCHEIKH

PROMOTION JUIN 1983



DEDICACES

A la memoire de ma Grand-mère dont le souvenir restera vivant en moi, elle qui souhaitait me voir finir avec succès cette étape d'études et n'eût pas le bonheur de vivre son espoir.

I wigad yeṭwarzen deg iles,
I wigad iṭṭwaqnen ḍef tideṭ,
I tdukwam yeḍḍuren ṭ-ṭifexsa,
I warrac g-gwassa, irgazen uzekka.

Chérif (Crif)

REMERCIEMENTS

Je tiens ici à exprimer ma profonde gratitude à monsieur Marek Ksiazek, mon promoteur, pour son aide continue et efficace et pour avoir contribué à sa manière à la réalisation de ce modeste travail.

Que les professeurs et assistants ayant contribué de loin ou de près à ma formation daignent trouver, ici, ma sincère reconnaissance.

Il en est de même à tous (tes) les amis(es) qui m'ont porté leur sincère aide.

M. Ksiazek

SOMMAIRE

	<u>Page</u>
INTRODUCTION	I
<u>Chap. I</u> GENERALITES	
1. Processus stochastiques et leurs caracteristiques	
1.1: Definition de fonction aleatoire	1
1.2: Realisation ou Epreuve d'une fonction aleatoire	1
1.3: Processus et champs stochastiques	1
1.4: Densités de probabilité pour des processus stochastiques	2
1.5: Moyennes statistiques et temporelles des processus stochastiques	3
2. Processus mixtes	4
3. Processus stationnaires	5
4. Classification des processus stochastiques	6
4.1: Processus aleatoires purs	6
4.2: Processus de Markov simples	6
4.3: Processus ergodiques	7
4.4: Processus normal ou Gaussien	10
5. Relations supplementaires	
5.1: Definition de la densité spectrale energetique	10
5.2: Relation entre la fonction d'auto-correlation et la densité spectrale	11
5.3: Theoreme de Parseval - Densité spectrale mutuelle	11
5.4: Relations de WIENER - KHINCHIN	12
5.5: Densité spectrale energetique et fonction d'auto - correlation des dérivées d'un processus aleatoire	12
<u>Chap. II</u> TRANSFORMATIONS LINEAIRES DE PROCESSUS STOCHASTIQUES STATIONNAIRES	
1. Systemes lineaires stationnaires et leur specification	
1.1: Systemes lineaires stationnaires	13
1.2: Specification des systemes lineaires stationnaires	15
(fonction de transfert - Integrale de DUHAMEL - Relation entre $H(t)$ et $h(t)$)	

2 - Systemes stables et realisables	
2.1: Systemes stables	18
2.2: Systemes realisables	18
2.3: Systemes physiquement realisables	19
3 - Specification d'une Fonction de transfert par ses pôles et zéros ..	20
3.1: Module et phase d'une fonction de transfert	20
3.2: Classification des fonctions de transfert selon l'emplacement de leurs pôles et de leurs zéros	21
4 - Relation entre $R_{\text{entrée}}(z)$ et $R_{\text{sortie}}(z)$ et entre $S_{\text{entrée}}(\omega)$ et $S_{\text{sortie}}(\omega)$..	23
5 - Densité spectrale de l'erreur	24
6 - Expression de la dispersion de la grandeur de sortie	25
6.1: Cas particuliers	26
6.2: Exemples de détermination de la dispersion de l'accélé- ration des systemes soumis à un processus blanc	26
<u>Chap. III</u> CONSTRUCTION ANALYTIQUE DES SYSTEMES DE VIBRO-ISOLATION	30
1. Caracteristiques de l'objet vibro-isolé	31
2. Hypothèses	31
3. Probleme de critères	31
4. Formulation mathématique du problème	32
5. Solution générale du problème par l'équation de Wiener-Hopf ..	35
<u>Chap. IV</u> SYSTEME de VIBRO-ISOLATION pour VIBRO-ISOLER UN CORPS RIGIDE	
1. Schema et relations	40
2 - $\Phi(s)$ pour différentes formes de $S_{\dot{x}_0}(s)$	40
3 - Comparaison des résultats	42
3.1 - Excitation par un bruit blanc	42
3.2 - Excitation par un processus $x_0(t)$ tel que $S_{\dot{x}_0}(s) = N^2 \Omega^2 / (-s^2 + \omega_0^2)$..	43
3.3 - Excitation par un processus $x_0(t)$ tel que $S_{\dot{x}_0}(s) = \frac{N^2}{\Omega^2} (-s^2 + \omega_0^2)$	45
<u>Chap. V</u> SYSTEME de VIBRO-ISOLATION pour ISOLER UN SYSTEME DYNAMIQUE.	
1. Fonction de transfert du S.V optimum en fonction de l'impé- dance de déplacement	47

2- Schema et relations	48
3- Fonction de transfert du systeme de vibro-isolation optimum pour deux formes de $S_{\ddot{x}_0}(s)$	50
a- $S_{\ddot{x}_0}(s) = N^2 = \text{constante}$	50
b- $S_{\ddot{x}_0}(s) = 2\alpha_1 N^2 \cdot \frac{\Omega^2 - s^2}{(\Omega^2 + s^2)^2 - 4\alpha_1 s^2}$	51
4- Comparaison des resultats	57
5- Determination de $\sigma_{\ddot{x}_1}^2$ (resp. de $\sigma_{x-x_0}^2$) à partir de $\sigma_{x-x_0}^2$ (resp. de $\sigma_{\ddot{x}_1}^2$) tout en respectant le critère d'optimisation	59
Exemple	61
<u>Chap VI</u> CONCLUSION	73
 BIBLIOGRAPHIE	 75

Le problème de vibrations est rencontré dans plusieurs domaines. Parmi ces vibrations, celles à caractère aléatoire ne sont que plus nuisibles et constituent un domaine d'étude des plus ardue.

L'analogie électrique-mécanique ne fait qu'affirmer cette hypothèse, les bruits thermiques dans les circuits, les vibrations dues aux problèmes de stabilité des oscillateurs locaux et des amplificateurs de puissance, constituent bien des vibrations nuisibles à lesquelles il faut remédier. Pour ce faire, dans l'un comme dans l'autre domaine, on étudie des méthodes efficaces pour isoler les vibrations.

Des méthodes générales ont été exposées et trouvent leur application dans chacun des deux domaines, déterminant ainsi des systèmes de vibro-isolation appropriés.

En mécanique, la vibro-isolation est assurée par trois types de systèmes :

1. Les systèmes passifs qui sont les plus simples. Ils constituent la catégorie des systèmes de vibro-isolation qui accomplissent leur fonction par simple action de ressorts et d'amortisseurs bien appropriés.

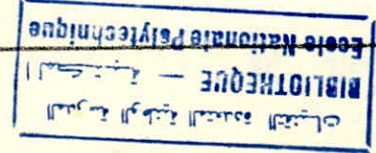
2. Les systèmes actifs qui agissent par l'action de servomécanismes, ces derniers jouent de plusieurs propriétés dont :

- Amplification de puissance de plus en plus un signal basse puissance vers un signal de puissance plus élevée.
- Indépendance vis à vis du milieu extérieur (c'est à dire, résistance aux perturbations apportées par le milieu extérieur).
- Adjonction d'un retour.

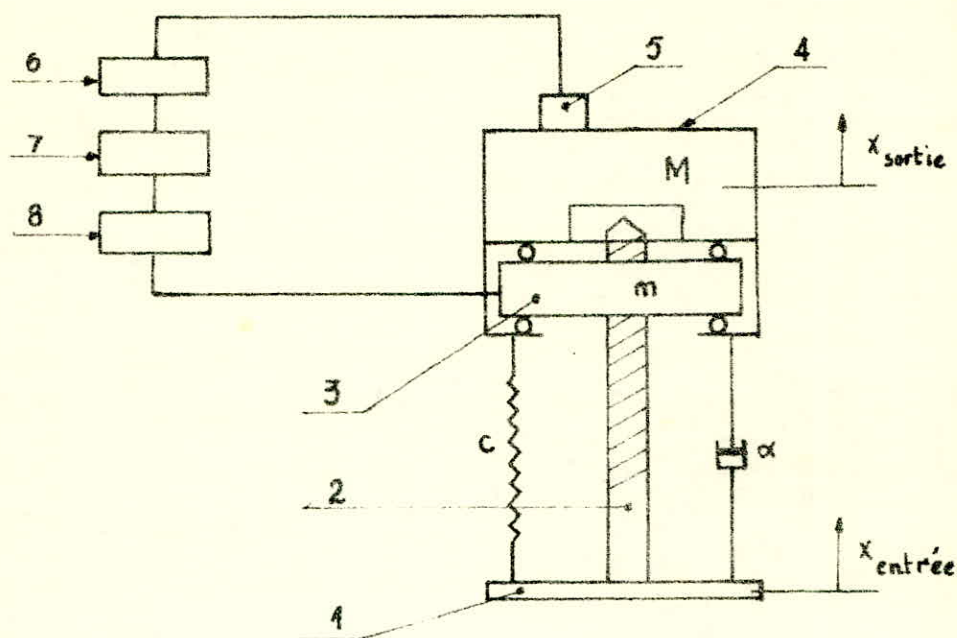
L'alimentation en énergie est assurée par des sources extérieures indépendantes du système de vibration.

On distingue des servo-mécanismes de type pneumatique avec retour, de type électro-hydraulique avec retour électrique, hydraulique ou

3. Combinaison des deux systèmes actifs et passifs.



Exemple d'un système de vibro-isolation actif possédant un système passif, avec un dispositif de changement de la forme du mouvement :



1. Fondation souple (mouvement de translation)
2. Vis
3. Disque changeant le mouvement de translation en un mouvement de rotation de la masse réduite m .
4. Objet à vibro-isoler.
5. Capteur mesurant une grandeur mécanique
6. Amplificateur
7. Mécanisme exécutif
8. Dispositif changeant le signal (7) en un mouvement de rotation du disque (3)

L'objet de ce mémoire est de citer une méthode d'étude de la vibro-isolation, conçue pour résoudre les problèmes les plus fréquents des vibrations à caractère stochastique, catégorie de problèmes qui, on peut dire, enveloppe la quasi-totalité des cas rencontrables.

Pour ce faire, il est utile de rappeler des notions de statistiques qui est indispensable de connaître avant d'aborder l'étude de systèmes de vibro-isolation proprement dite.

Rappelons que dans cette catégorie de problèmes, il existe des cas dont l'étude nécessite un appareil mathématique relativement simple. C'est surtout dans cette optique que l'on optera pour l'étude de systèmes de vibro-isolation linéaires stationnaires, qui constituent une approximation d'une vaste classe de systèmes utilisés dans les applications.

Ainsi, le plan de travail sera découpé en trois parties :

- la première concernera les notions de statistiques.
- la deuxième concernera les systèmes de transmission de signaux et leur spécification.
- la troisième concernera la vibro-isolation proprement dite.

Dans chacune des 3 parties, on utilisera des notions de mathématiques jugées connues et, dans le cas échéant, faciles à trouver dans les ouvrages.

PREMIERE PARTIE

1.4 : Densités de probabilité pour des processus stochastiques :

Pour caractériser les propriétés statistiques des processus stochastiques, il nous faut introduire la notion de probabilité.

Considérons, N réalisations d'un processus stochastiques, soient $\xi^{(1)}(t), \xi^{(2)}(t), \xi^{(3)}(t), \dots, \xi^{(N)}(t)$.

Supposons que " n_1 " de ces réalisations, à un instant donné $t = t_1$, aient des valeurs inférieures à x_1 .

Le rapport n_1/N , quand N tend vers l'infini, est la Probabilité pour que la valeur de $\xi(t)$, à l'instant $t = t_1$, soit plus petite que x_1 , et on note :

$$P \{ \xi(t_1) \leq x_1 \}.$$

Généralement cette probabilité dépend du temps t_1 , aussi bien que de la valeur x_1 ; elle est donc une fonction de deux variables. On note cette fonction :

$$F_1(x_1, t_1) = P \{ \xi(t_1) \leq x_1 \},$$

et on l'appelle, Fonction de Répartition des probabilités du 1^{er} ordre, ou Fonction de Répartition tout court.

Cette dernière sert à définir la densité de probabilité :

$$w_1(x_1, t_1) = \frac{\partial F_1(x_1, t_1)}{\partial x_1} \quad (1^{\text{er}} \text{ ordre})$$

De manière analogue, en passant à un grand nombre n de variables, on aura la fonction de répartition :

$$F_n(x_1, x_2, \dots, x_n; t_1, t_2, \dots, t_n) = P \{ \xi(t_1) \leq x_1, \dots, \xi(t_n) \leq x_n \}$$

et la densité de probabilité du nième ordre :

$$w_n(x_1, x_2, \dots, x_n; t_1, t_2, \dots, t_n) = \frac{\partial^n F_n(x_1, x_2, \dots, x_n; t_1, t_2, \dots, t_n)}{\partial x_1 \partial x_2 \dots \partial x_n}$$

Plus n est grand, plus la description du processus stochastique est complète.

1.5: Moyennes statistiques et temporelles des processus stochastiques

Les processus stochastiques ne peuvent être connus en détail.
Pour les caractériser, on évalue leurs moyennes des différents ordres.

1.5.1: Moyennes statistiques (Moyennes d'ensemble):

a) Valeur moyenne ou Espérance mathématique:
(Moment du 1^{er} ordre)

$$\overline{\xi(t_1)} = \int_{-\infty}^{\infty} x_1 w_1(x_1, t_1) dx_1.$$

b) Moyenne quadratique (Moment initial du 2^e ordre):

$$\overline{\xi^2(t_1)} = \int_{-\infty}^{\infty} x_1^2 w_1(x_1, t_1) dx_1.$$

c) Fonction d'auto-correlation (Moment initial mixte du 2^e ordre)

$$B_{\xi\xi}(t_1, t_2) = \overline{\xi(t_1)\xi(t_2)} = \int_{-\infty}^{\infty} \int_{-\infty}^{\infty} x_1 x_2 w_2(x_1, x_2; t_1, t_2) dx_1 dx_2$$

d) Fonction de corrélation mutuelle (Moment initial mixte du 2^e ordre):

$$B_{\xi\eta}(t_1, t_2) = \overline{\xi(t_1)\eta(t_2)} = \int_{-\infty}^{\infty} \int_{-\infty}^{\infty} x_1 y_2 w_2(x_1, y_2; t_1, t_2) dx_1 dy_2$$

e) Variance ou Dispersion (Moment centré du 2^e ordre):

$$\sigma^2(t_1) = M_2 \{ \xi^2(t_1) \} = \overline{[\xi(t_1) - \overline{\xi(t_1)}]^2} = \overline{\xi(t_1)^2} - [\overline{\xi(t_1)}]^2$$

f) Fonction de covariance (Moment centré mixte du 2^e ordre)

* Fonction d'auto-covariance:

$$K_{\xi\xi}(t_1, t_2) = M_{12} \{ \xi(t_1), \xi(t_2) \} = \overline{[\xi(t_1) - \overline{\xi(t_1)}][\xi(t_2) - \overline{\xi(t_2)}]}$$

* Fonction de covariance mutuelle:

$$K_{\xi\eta}(t_1, t_2) = M_{12} \{ \xi(t_1), \eta(t_2) \} = \overline{[\xi(t_1) - \overline{\xi(t_1)}][\eta(t_2) - \overline{\eta(t_2)}]}$$

1.5.2: Moyennes temporelles :

Dans ce cas, parmi l'ensemble des réalisations de $\xi(t)$, on considère une réalisation particulière $\xi^{(k)}(t)$ et on fait sa moyenne dans le temps, contrairement au cas des moyennes d'ensemble où l'on fait la moyenne au sens des probabilités sur l'ensemble des réalisations possibles de $\xi(t)$ en des instants $t_1, t_2, \dots, t_n, \dots$ choisis arbitrairement.

a) Valeur moyenne :

$$\widetilde{\xi}(t) = \lim_{T \rightarrow \infty} \frac{1}{2T} \int_{-T}^T \xi^{(k)}(t) dt.$$

La valeur moyenne représente la composante continue du processus.

b) Moyenne quadratique temporelle :

$$\widetilde{[\xi^{(k)}(t)]^2} = \lim_{T \rightarrow \infty} \frac{1}{2T} \int_{-T}^T [\xi^{(k)}(t)]^2 dt.$$

La moyenne quadratique temporelle représente la puissance du processus sur une charge unité.

c) Fonction d'auto-correlation temporelle :

$$R_{\xi\xi}^{(k)}(t_1, t_2) = \overline{\xi^{(k)}(t_1+t) \cdot \xi^{(k)}(t_2+t)}$$

$$R_{\xi\xi}^{(k)}(t_1, t_2) = \lim_{T \rightarrow \infty} \frac{1}{2T} \int_{-T}^T \xi^{(k)}(t_1+t) \cdot \xi^{(k)}(t_2+t) dt.$$

d) Fonction de corrélation mutuelle temporelle :

$$R_{\xi\eta}^{(k)}(t_1, t_2) = \lim_{T \rightarrow \infty} \frac{1}{2T} \int_{-T}^T \xi^{(k)}(t_1+t) \cdot \eta^{(k)}(t_2+t) dt.$$

2. Processus mixtes

Dans beaucoup d'applications pratiques, on ajoute à un processus certain $s(t)$ un processus aléatoire $\xi(t)$ (par exemple, un bruit) :

$$\eta(t_1) = \xi(t_1) + s(t_1),$$

$s(t_1)$ étant une constante, on peut avoir la relation entre les densités de probabilités $w(y, t_1)$ de $\eta(t_1)$ et $w(x, t_1)$ de $\xi(t_1)$;

$$\left. \begin{array}{l} w(y, t_1) = w(x, t_1) \\ \text{comme } y = x + s(t_1) \end{array} \right\} \Rightarrow w(y, t_1) = w(y - s(t_1); t_1)$$

3. Processus stationnaires

Les processus stationnaires sont des processus dont les propriétés statistiques sont invariantes par rapport à un changement arbitraire de l'origine du temps.

Ainsi, on a :

$$W_n(x_1, x_2, \dots, x_n; t_1, t_2, \dots, t_n) = W_n(x_1, x_2, \dots, x_n; (t_1 + \tau), (t_2 + \tau), \dots, (t_n + \tau))$$

Les processus qui ont cette propriété sont appelés processus stationnaires au sens strict ou étroit.

Ainsi, on remarque que la densité du 1^{er} ordre w_1 ne dépend pas du temps et que celle du 2^e ordre ne dépend que de l'intervalle de temps $\tau = t_2 - t_1$.

De même :

$$* \overline{\xi(t_1)} = m_1 \{ \xi(t_1) \} = \int_{-\infty}^{\infty} x_1 w_1(x_1) dx_1 \text{ ne dépend pas du temps.}$$

$$* \sigma^2 = M_2 \{ \xi(t) \} = \int_{-\infty}^{\infty} [x - \overline{\xi(t)}]^2 w_1(x) dx \text{ ne dépend pas du temps.}$$

$$* \overline{\xi(t_1) \xi(t_2)} = \int_{-\infty}^{\infty} \int_{-\infty}^{\infty} x_1 x_2 w_2(x_1, x_2; t_2 - t_1) dx_1 dx_2,$$

ne dépend que de la différence $\tau = t_2 - t_1$.

Il en est de même de la fonction de covariance.

On peut ainsi considérer comme processus stationnaires les processus qui satisfont aux faits que la moyenne et la variance ne dépendent pas du temps et que les fonctions d'auto-correlation et de covariance ne dépendent que de l'intervalle de temps $\tau = t_2 - t_1$.

On pourrait dire ceci vrai que, dans beaucoup d'applications pratiques,

on a affaire qu'à des moments du 2^e ordre.

Les processus qui satisfont à cette dernière définition sont dits stationnaires au sens large, ou stationnaires jusqu'au 2^e ordre.

4. Classification des processus stochastiques

4.1: Processus aléatoire pur :

Un processus aléatoire est dit pur, lorsque les valeurs successives ξ ne dépendent absolument pas les unes des autres

Pour ces processus, on a :

$$W_n(x_1, x_2, \dots, x_n; t_1, t_2, \dots, t_n) = \prod_{k=1}^n W_1(x_{t_k}, t_k)$$

Les processus continus purs constituent un cas limite qu'on ne rencontre jamais en réalité. Dans les cas physiquement réalisés, $\xi(t_1)$ et $\xi(t_2)$ sont toujours corrélés si t_1 est très voisin de t_2 .

4.2: Processus de Markov simples :

Les processus de Markov simples sont les processus pour lesquels la valeur x_n à l'instant t_n dépend des valeurs précédentes $(x_1, x_2, \dots, x_{n-1}; t_1, t_2, \dots, t_{n-1})$ par l'intermédiaire unique de la valeur prise (x_{n-1}, t_{n-1}) , c'est à dire :

$$W_n(x_n; t_n / x_1, x_2, \dots, x_{n-1}; t_1, t_2, \dots, t_{n-1}) = W_n(x_n; t_n / x_{n-1}; t_{n-1})$$

où $t_1 \leq t_2, \dots, \leq t_n$.

Ainsi :

$$W_n(x_1, x_2, \dots, x_n; t_1, t_2, \dots, t_n) = W_1(x_1; t_1) \cdot \prod_{k=2}^n W_2(x_k; t_k / x_{k-1}; t_{k-1})$$

avec la condition $n \geq 2$

On observe que si l'on en connaît la densité de probabilité du 2^e ordre, ce processus est complètement décrit.

4.3: Processus ergodiques:

Pour traiter un problème de transmission d'un processus, dans beaucoup de cas, l'expérience ne dispose pas de toutes les réalisations possibles $\xi(t)$ du processus, mais seulement d'une réalisation particulière $\xi^{(k)}(t)$ et on ne peut donc déduire que des moyennes temporelles, mais pas les moyennes statistiques.

Il est donc important d'établir une relation entre les valeurs déduites théoriquement à priori, conformément aux méthodes statistiques, et les valeurs correspondantes déduites par voie expérimentale, c'est à dire à posteriori, en observant en fonction du temps une réalisation particulière.

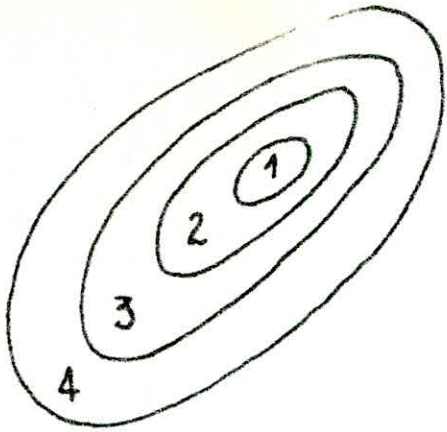
L'ensemble des processus pour lesquels les moyennes statistiques sont égales aux moyennes temporelles s'appelle Ensemble Ergodique.

La condition que doit respecter un processus $\{\xi^{(k)}(t)\}$ pour qu'il appartienne à cet ensemble Hypothèse Ergodique.

On établit que pour qu'un processus stochastique soit ergodique, il faut que la condition de stationnarité au sens strict soit remplie car si elle ne l'était pas, les moyennes statistiques, aux différents instants t_1, t_2, \dots, t_n , auraient généralement des valeurs différentes qui ne pourraient pas être rendues égales à la moyenne temporelle.

De même, si $\xi(t)$ est un processus stationnaire ergodique et ζ une variable aléatoire, le processus $\eta(t) = \xi(t) + \zeta$ n'est ergodique que si ζ est une constante.

En résumé, les processus stochastiques sont classés comme suit :



1. Ergodiques.
2. Stationnaires au sens strict.
3. Stationnaires au sens large.
4. Stochastiques.

Ainsi, pour les processus stationnaires ergodiques, on a les relations :

* Valeur moyenne :

$$\overline{\xi(t)} = \int_{-\infty}^{\infty} x w(x) dx = \tilde{\xi}(t) = \lim_{T \rightarrow \infty} \frac{1}{2T} \int_{-T}^T \xi(t) dt$$

* Moyenne quadratique :

$$\overline{\xi^2(t)} = \int_{-\infty}^{\infty} x^2 w(x) dx = \tilde{\xi^2}(t) = \lim_{T \rightarrow \infty} \frac{1}{2T} \int_{-T}^T \xi^2(t) dt$$

* Fonction d'auto-correlation :

$$R(\tau) = \overline{\xi(t_1) \xi(t_2)} = \int_{-\infty}^{\infty} x_1 x_2 w_2(x_1, x_2; t_1, t_2) dx_1 dx_2 =$$

$$= \lim_{T \rightarrow \infty} \frac{1}{2T} \int_{-T}^T \xi(t) \xi(t+\tau) dt$$

avec $t_2 - t_1 = \tau$.

* Fonction de corrélation mutuelle :

$$\overline{\xi(t_1) \eta(t_2)} = \int_{-\infty}^{\infty} x_1 y_2 w_2(x_1, y_2; t_1, t_2) dx_1 dy_2 =$$

$$= \lim_{T \rightarrow \infty} \frac{1}{2T} \int_{-T}^T \xi(t) \eta(t+\tau) dt$$

* Variance (Dispersion) :

$$\sigma^2 = \int_{-\infty}^{\infty} [x - \overline{\xi(t)}]^2 w(x) dx = \lim_{T \rightarrow \infty} \frac{1}{2T} \int_{-T}^T [\xi(t) - \overline{\xi(t)}]^2 dt$$

Propriétés de la fonction d'auto-correlation :

Pour les processus stationnaires ergodiques, la fonction d'auto-correlation temporelle est égale à la fonction d'auto-correlation statistique.

$$B(\tau) = R(\tau) = R(t_2 - t_1) = \overline{\xi(t_1) \cdot \xi(t_2)} = \overline{\xi^{(*)}(t_1 + t) \cdot \xi^{(*)}(t_2 + t)}$$

a) Lorsque τ tend vers l'infini, la liaison entre les variables aléatoires $\xi(t_1)$ et $\xi(t_2)$ devient de plus en plus faible et, pour τ très grand, ces variables deviennent indépendantes. Alors :

$$\overline{\xi(t_1) \cdot \xi(t_2)} = \overline{\xi(t_1)} \cdot \overline{\xi(t_2)} = a^2 \quad \text{où } a \text{ est la valeur moyenne de } \xi(t).$$

$$\text{Donc } \lim_{\tau \rightarrow \infty} R(\tau) = a^2.$$

Quand τ tend vers l'infini, $R(\tau)$ tend asymptotiquement vers a^2 , soit de manière monotone, soit avec des oscillations autour de la valeur a^2 .

$$\text{b) Pour } \tau = 0, \quad R(0) = \lim_{T \rightarrow \infty} \frac{1}{2T} \int_{-T}^T x^2(t) dt$$

La valeur de la fonction d'auto-correlation à l'origine est égale à la puissance du processus.

La variance sera donc :

$$\sigma^2 = \lim_{T \rightarrow \infty} \frac{1}{2T} \int_{-T}^T x^2(t) dt - a^2 = R(0) - R(\infty)$$

c) La fonction d'auto-correlation est paire : $R(\tau) = R(-\tau)$

d) $\forall \tau, R(0) \geq R(\tau)$.

4.4: Processus normal ou Gaussien :

Un processus stochastique est dit normal ou Gaussien, si l'ensemble de valeurs $[x(t_1), \dots, x(t_n)]$, pour n quelconque et pour t_1, t_2, \dots, t_n arbitrairement choisis dans le domaine du temps, constitue un vecteur aléatoire avec distribution normale.

Pour de tels processus, les propriétés statistiques sont déterminées lorsqu'on connaît leurs fonctions de corrélation, puisque la densité de probabilité est :

$$w(x) = \frac{1}{\sqrt{2\pi}\sigma^2} \exp\left[-\frac{(x-a)^2}{2\sigma^2}\right],$$

où σ^2 et a^2 se déterminent à partir de la fonction d'auto-corrélation comme il a été vu dans les propriétés de la fonction d'auto-corrélation.

5. Relations supplémentaires

5.1: Définition de la densité spectrale énergétique :

Soit $x(t)$ un processus aléatoire. Sa puissance moyenne est donnée par :

$$P = \lim_{T \rightarrow \infty} \frac{1}{2T} \int_{-T}^T x^2(t) dt. \quad (1)$$

La transformée de Fourier de $x(t)$ est :

$$X(-j\omega) = \int_{-\infty}^{\infty} x(t) e^{j\omega t} dt \quad \text{d'où} \quad x(t) = \frac{1}{2\pi} \int_{-\infty}^{\infty} X(-j\omega) e^{-j\omega t} d\omega.$$

(1) peut donc s'écrire de la façon :

$$P = \lim_{T \rightarrow \infty} \frac{1}{2T} \int_{-T}^T x(t) \left[\frac{1}{2\pi} \int_{-\infty}^{\infty} X(-j\omega) e^{-j\omega t} d\omega \right] dt \quad \text{et en}$$

interchangeant les deux intégrations on aura :

$$P = \lim_{T \rightarrow \infty} \frac{1}{2T} \int_{-T}^T \frac{1}{2\pi} X(-j\omega) d\omega \underbrace{\int_{-\infty}^{\infty} x(t) e^{-j\omega t} dt}_{X(j\omega)}, \text{ soit,}$$

$$P = \frac{1}{2\pi} \int_{-\infty}^{\infty} \lim_{T \rightarrow \infty} \frac{|X(j\omega)|^2}{2T} d\omega = \frac{1}{2\pi} \int_{-\infty}^{\infty} S(\omega) d\omega \quad (2)$$

$$\text{avec } S(\omega) = \lim_{T \rightarrow \infty} \frac{|X(j\omega)|^2}{2T}$$

La relation (2) montre que $S(\omega)$ a la dimension d'une en-
celte fonction est appelée DENSITE SPECTRALE ENERGETIQUE-
processus.

5.2: Relation entre la fonction d'auto-correlation et la densité spectrale :

On démontre que $S(\omega) = \int_{-\infty}^{\infty} R(\tau) e^{-j\omega\tau} d\tau$, c'est à dire que

la densité spectrale est égale à la transformée de Fourier de la fonction d'auto-correlation.

5.3: Théorème de Parseval - Densité spectrale mutuelle

Soient deux processus aléatoires $x(t)$, $y(t)$ et $X(j\omega)$, $Y(j\omega)$ leurs transformées de Fourier respectives.

$$\text{Alors : } \int_{-\infty}^{\infty} x(t) y(t) dt = \frac{1}{2\pi} \int_{-\infty}^{\infty} X^*(j\omega) Y(j\omega) d\omega.$$

On peut donc écrire, d'après ce théorème :

$$\begin{aligned} \lim_{T \rightarrow \infty} \frac{1}{2T} \int_{-T}^T x(t) y(t) dt &= \frac{1}{2\pi} \lim_{T \rightarrow \infty} \frac{1}{2T} \int_{-T}^T X^*(j\omega) Y(j\omega) d\omega = \\ &= \frac{1}{2\pi} \int_{-\infty}^{\infty} \lim_{T \rightarrow \infty} \frac{X^*(j\omega) Y(j\omega)}{2T} d\omega = \frac{1}{2\pi} \int_{-\infty}^{\infty} S_{xy}(\omega) d\omega \end{aligned}$$

La fonction $S_{xy}(\omega)$ est la densité spectrale mutuelle.

5.4: Relations de WIENER - KHINCHIN :

$$S(\omega) = \int_{-\infty}^{\infty} R(\tau) e^{-j\omega\tau} d\tau = 2 \int_0^{\infty} R(\tau) \cos \omega\tau d\tau.$$

$$R(\tau) = \frac{1}{2\pi} \int_{-\infty}^{\infty} S(\omega) e^{j\omega\tau} d\omega = \frac{1}{\pi} \int_0^{\infty} S(\omega) \cos \omega\tau d\omega.$$

Les deux relations montrent que la fonction d'auto-correlation et la densité spectrale se correspondent dans la transformée de Fourier à la manière de la réponse impulsionnelle et la fonction de transfert, qu'on verra plus loin.

5.5: Densité spectrale énergétique et fonction d'auto-correlation des dérivées d'un processus stochastique :

On démontre que :

$$* S_{\dot{x}}(\omega) = \omega^2 S_x(\omega)$$

$$* S_{\ddot{x}}(\omega) = \omega^4 S_x(\omega)$$

$$* R_{\dot{x}}(\tau) = -R''_x(\tau), \text{ la fonction d'auto-correlation de}$$

la dérivée du processus $x(t)$ est égale, au signe près, à la dérivée seconde de la fonction d'auto-correlation de $x(t)$.

$$* R_{\ddot{x}}(\tau) = R_x^{(4)}(\tau), \text{ la fonction d'auto-correlation de}$$

la dérivée seconde du processus $x(t)$ est égale à la 4^e dérivée de celle relative au processus $x(t)$.

Remarque :

La transformée de Fourier de $\dot{x}(t)$ est $j\omega X(j\omega)$.

DEUXIEME PARTIE

II. TRANSFORMATIONS LINEAIRES

(de processus stochastiques stationnaires)

1. Systemes lineaires stationnaires et leur specification

1.1 : Systemes lineaires stationnaires :

D'une façon generale, un systeme transforme un signal ou un processus stochastique $x(t)$, appliqué à son entrée, en un autre processus $y(t)$ qui apparait à sa sortie.

On peut associer à tout systeme un operateur Ψ fonctionnel qui transforme l'espace X de $x(t)$ d'entrée, dans l'espace Y du processus $y(t)$ de sortie.

Si l'operateur est lineaire, on dit que le systeme associé est lineaire.

Si l'operateur est parametrique ou non lineaire, on dit que le systeme associé est parametrique ou non lineaire.

$x(t)$ et $y(t)$ sont reliés par l'intermediaire de l'operateur Ψ de la façon :

$$\Psi \{x(t)\} = y(t).$$

Ψ est dit lineaire, ainsi que le systeme associé, si :

$$\left\{ \begin{array}{l} \Psi \{x_1(t) + x_2(t)\} = y_1(t) + y_2(t) \quad (1) \\ \text{et} \end{array} \right.$$

$$\left\{ \begin{array}{l} \Psi \{\lambda x(t)\} = \lambda \Psi \{x(t)\} \quad (2) \end{array} \right.$$

(1) : La reponse du systeme, lorsqu'on applique à son entrée une somme de signaux, est égale à la somme des reponses qu'on aurait obtenues si chaque signal avait été appliqué separément.

(2) : Le signal de sortie devient λ fois plus grand si le signal d'entrée devient λ fois plus grand.

Le système linéaire est dit stationnaire ou invariant dans le temps c'est à dire que Ψ est invariant dans le temps, si :

$\Psi \{x(t+\tau)\} = y(t+\tau)$, c'est à dire que la transformation est indépendante du temps.

Si l'on pose que le signal entrant est représenté à l'aide d'une somme finie de composantes :

$$x(t) = \sum_{k=1}^n a_k v_k(t),$$

où $v_k(t)$ forme un système de fonctions orthonormées, et que l'opérateur associé au système est connu et donné par la matrice

$$\Psi = \begin{bmatrix} \Psi_{11} & \Psi_{12} & \dots & \Psi_{1n} \\ \Psi_{21} & \Psi_{22} & \dots & \Psi_{2n} \\ \dots & \dots & \dots & \dots \\ \Psi_{n1} & \Psi_{n2} & \dots & \Psi_{nn} \end{bmatrix},$$

le signal sortant du système peut être déterminé si l'on connaît les composantes b_k :

$$y(t) = \sum_{k=1}^n b_k v_k(t).$$

Les composantes sont données par le système :

$$(1) \begin{cases} \Psi_{11} a_1 + \Psi_{12} a_2 + \dots + \Psi_{1n} a_n = b_1 \\ \Psi_{21} a_1 + \Psi_{22} a_2 + \dots + \Psi_{2n} a_n = b_2 \\ \dots \\ \Psi_{n1} a_1 + \Psi_{n2} a_2 + \dots + \Psi_{nn} a_n = b_n \end{cases}$$

Note: Cette méthode de calcul est générale et peut être appliquée aussi pour les systèmes paramétriques ou non linéaires à condition de connaître les composantes Ψ_{ki} de l'opérateur. Toutefois, dans le cas de systèmes linéaires, la situation est très simplifiée car la réponse de chaque composante du signal à l'entrée peut être calculée séparément, et la réponse totale obtenue par l'addition des réponses individuelles.

Les systèmes linéaires stationnaires jouent un rôle très important dans les problèmes de transmission de signaux ou de processus stochastiques. La raison en est que ces systèmes peuvent être étudiés à l'aide d'un appareil mathématique relativement simple, et que les systèmes linéaires constituent une approximation d'une vaste classe de systèmes utilisés dans l'application.

1.2: Spécification des systèmes linéaires stationnaires:

À un système donné, on peut associer plusieurs opérateurs, équivalents entre eux, qui peuvent le spécifier.

On se propose dans cette étude à considérer deux cas:

- L'opérateur est déterminé dans le domaine de la fréquence complexe. (la synthèse du signal est faite à l'aide de fonctions exponentielles).
- L'opérateur est déterminé dans le domaine du temps. (la synthèse du signal est faite à l'aide de fonctions δ "DELTA").

1.2.1: Spécification de l'opérateur Ψ dans le domaine des fréquences la fonction de transfert.

Supposons les fonctions $v_k(t)$ de la forme: $v_k(t) = e^{k p_0(t)}$

Puisque Ψ est linéaire, toutes les composantes Ψ_{ik} pour $i \neq k$ sont nulles; soit:

$$\Psi = \begin{bmatrix} \Psi_{11} & 0, \dots, 0 \\ 0 & \Psi_{22}, \dots, 0 \\ \dots & \dots & \dots \\ 0 & 0, \dots, \Psi_{nn} \end{bmatrix}$$

Le système d'équations (1) se résume donc à: $\Psi_{kk} \cdot a_k = b_k$, pour $k=1, 2, \dots, n$, ce qui veut dire que l'amplitude d'un signal exponentiel de fréquence complexe $k p_0$ est transformée en $\Psi_{kk} a_k$ après la traversée du système.

On nomme ainsi $\Psi_{kk} = \Psi_k = H(k p_0)$, coefficient de transfert.

La réponse sera donc :

$$y(t) = \sum_{k=1}^n H(kp_0) a_k e^{kp_0(t)} \quad (2)$$

Si l'on passe aux transformées de Fourier, on sait que :

$$x(t) = \frac{1}{2\pi} \int_{-\infty}^{+\infty} X(p) e^{pt} dp \quad \text{et} \quad X(p) = \int_{-\infty}^{+\infty} x(t) e^{-pt} dt$$

Dans ce cas, par passage à la limite, si $k \rightarrow \infty$ et $kp_0 \rightarrow p$, la relation (2) devient :

$$Y(p) = H(p) \cdot X(p) \quad \text{soit,}$$

$$y(t) = \frac{1}{2\pi j} \int_{\sigma-j\infty}^{\sigma+j\infty} H(p) X(p) e^{pt} dp$$

Cette dernière relation donne la réponse du système si l'on connaît le signal ou le processus appliqué à son entrée.

La fonction $H(p)$ est appelée Fonction de Transfert du Système.

12.2 : Spécification de l'opérateur Ψ dans le domaine du temps. Intégrale de DUHAMEL.

Utilisant l'une des propriétés de la fonction δ , on peut écrire l'entrée et la sortie de la façon :

$$x(t) = \int_{-\infty}^{+\infty} x(\tau) \delta(t-\tau) d\tau \quad (1)$$

$$y(t) = \int_{-\infty}^{+\infty} y(\tau) \delta(t-\tau) d\tau \quad (2)$$

Ecrivons la relation de transformation :

$$\Psi(\tau) x(\tau) = y(\tau),$$

$$\text{soit} \quad \Psi(\tau) \delta(t-\tau) x(\tau) = y(\tau) \delta(t-\tau)$$

$$\text{on pose} \quad \Psi(\tau) \delta(t-\tau) = h(t-\tau) \quad (3)$$

$$\text{Donc} \quad y(\tau) \delta(t-\tau) = h(t-\tau) x(\tau)$$

Portons cette expression dans l'intégrale (2) :

Donc,
$$y(t) = \int_{-\infty}^{\infty} h(t-\tau) x(\tau) d\tau, \quad (4)$$

soit, après changement de variable :

$$y(t) = \int_{-\infty}^{\infty} x(t-\tau) h(\tau) d\tau \quad \text{Intégrale de DUHAMEL}$$

La fonction $h(t)$, définie par la relation (3) comme étant la transformée de la fonction S , est appelée REPONSE IMPULSIVE ou FONCTION de PONDERATION parcequ'elle pondère les valeurs du signal entrant dans l'intégrale de la relation (4).

1.2.3: Relation entre $H(p)$ et $h(t)$:

Puisque $H(p)$ et $h(t)$ spécifient le même système, la connaissance de $H(p)$ (avec son domaine de définition) détermine $h(t)$ de manière unique, et inversement.

Soit $D(p)$ le spectre complexe (transformée de Fourier) de la fonction S .

$$D(p) = \int_{-\infty}^{\infty} S(t) e^{-pt} dt = 1$$

La réponse impulsive peut être déterminée, par l'intermédiaire de la fonction de transfert, de la façon :

$$h(t) = \frac{1}{2\pi j} \int_{\sigma-j\infty}^{\sigma+j\infty} D(p) H(p) e^{pt} dp, \quad \text{comme } D(p) = 1, \text{ donc}$$

$$h(t) = \frac{1}{2\pi j} \int_{\sigma-j\infty}^{\sigma+j\infty} H(p) e^{pt} dp \quad \text{et} \quad H(p) = \int_{-\infty}^{\infty} h(t) e^{-pt} dt$$

c'est à dire que $H(p)$ est la transformée de Laplace de $h(t)$.

2. Systemes stables et realisables .

La stabilité et la possibilité de réaliser des systèmes linéaires à paramètres constants peuvent être définies dans le domaine du temps comme dans celui des fréquences.

2.1: Systèmes stables :

Un système est dit stable si à tout signal borné appliqué à son entrée correspond à sa sortie un signal borné.

a) Dans le domaine du temps, la condition nécessaire et suffisante pour qu'un système soit stable est que sa fonction de pondération soit absolument intégrable :

$$\int_{-\infty}^{\infty} |h(t)| dt < +\infty \quad (1)$$

Ce qui implique que sa réponse à l'impulsion unité doit s'annuler quand t tend vers l'infini.

b) Dans le domaine des fréquences, la condition de stabilité définie par la relation (1) requiert que le domaine de convergence de la fonction de transfert $H(p)$ contienne l'axe imaginaire $\sigma = 0$ ($p = j\omega$);

$$|H(p)| \leq \int_{-\infty}^{\infty} |h(t)| e^{-\sigma t} dt = \int_{-\infty}^{\infty} |h(t)| e^{-\sigma t} dt \quad \text{et pour } \sigma = 0,$$

$$|H(p)| \leq \int_{-\infty}^{\infty} |h(t)| dt < +\infty$$

2.2: Systèmes réalisables :

Un système est dit réalisable si l'apparition d'un signal à sa sortie ne peut précéder l'application d'un signal à son entrée. (L'effet ne précède pas la cause).

a) Dans le domaine du temps, un système est réalisable si :

$$h(t) = 0 \quad \text{pour } t < 0$$

b) Dans le domaine des fréquences, la condition pour qu'un système soit réalisable est que la fonction de transfert $H(p)$ ait pour domaine de convergence le demi-plan défini par $\text{Re}\{p\} > \sigma_0$, où σ_0 est un nombre fini.

Dans ce cas, les singularités de $H(p)$ se trouvent à gauche de la droite $p = \sigma_0 + j\omega$, de telle sorte que :

$$h(t) = \frac{1}{2\pi j} \int_{\sigma_0 - j\infty}^{\sigma_0 + j\infty} H(p) e^{pt} dp \quad \text{est nulle pour } t < 0$$

-2.3: Systèmes physiquement réalisables :

Si un système est à la fois stable et réalisable, il est dit physiquement réalisable.

Les conditions que doit remplir un tel système sont :

a) Dans le domaine du temps :

$$\int_{-\infty}^{+\infty} |h(t)| dt < +\infty \quad \text{et } h(t) = 0 \text{ pour } t < 0$$

b) Dans le domaine des fréquences :

Critère de PALEY-WIENER :

Si l'intégrale

$$I = \int_{-\infty}^{+\infty} \frac{|\text{Log}|H(j\omega)|| d\omega}{1 + \omega^2} \quad \text{est bornée, soit } I < +\infty,$$

alors $|H(j\omega)|$ est le module de la fonction de transfert d'un système physiquement réalisable.

Si $I < +\infty$, alors $|H(j\omega)|^2 = H^*(j\omega)H(j\omega)$ peut être mis en produit de facteurs et il est possible que $H(j\omega)$ soit choisi de telle sorte que $H(p)$ ne contienne pas de pôles dans la partie droite du plan complexe $\text{Re}\{p\} > 0$.

La fonction de transfert doit avoir pour domaine de convergence tout le demi-plan $\text{Re}\{p\} \geq 0$, c'est à dire qu'elle doit être

analytique dans tout le demi-plan $\text{Re}\{p\} > 0$ et ne pas avoir de singularités sur l'axe imaginaire.

3. Specification d'une fonction de transfert (par ses pôles et ses zéros)

Une vaste classe de systèmes ont pour fonction de transfert une fraction rationnelle de p .

$$H(p) = A \frac{p^m + a_{m-1} p^{m-1} + \dots + a_1 p + a_0}{p^n + b_{n-1} p^{n-1} + \dots + b_1 p + b_0} \quad (1)$$

En faisant apparaître les pôles et les zéros de la fonction de transfert, on peut écrire :

$$H(p) = A \frac{(p-z_1)(p-z_2)\dots(p-z_m)}{(p-p_1)(p-p_2)\dots(p-p_n)} \quad (2)$$

Les coefficients a_k, b_k étant réels, par conséquent, dans la relation (2), si les pôles et les zéros sont complexes, ils doivent s'associer en paires conjuguées.

On établit les conclusions suivantes :

- * Les pôles d'une fonction de transfert $H(p)$ d'un système stable doivent se trouver dans le demi-plan de gauche.
- * Si la fonction de transfert $H(p)$ a des pôles sur l'axe imaginaire, ils doivent être simples.
- * Le nombre de zéros de la fonction de transfert $H(p)$ d'un système stable doit être inférieur, ou tout au plus égal, au nombre de pôles.

3.1: Module et phase d'une fonction de transfert :

$$H(p) = A \frac{(p-z_1)(p-z_1^*)\dots}{(p-p_1)(p-p_1^*)\dots} \quad (1)$$

Pour calculer cette fonction de transfert en régime permanent, on opère la substitution $p = j\omega$.

$$H(j\omega) = A \frac{(j\omega - z_1)(j\omega - z_1^*) \dots}{(j\omega - p_1)(j\omega - p_1^*) \dots}$$

Si l'on pose :

$$j\omega - z_1 = z_1 e^{j\alpha_1} \quad ; \quad j\omega - p_1 = p_1 e^{j\beta_1} \quad ; \quad \dots$$

$$j\omega - z_1^* = z_1' e^{j\alpha_1'} \quad ; \quad j\omega - p_1^* = p_1' e^{j\beta_1'} \quad ; \quad \dots$$

on obtient :

$$H(j\omega) = A \frac{z_1 z_1' \dots}{p_1 p_1' \dots} e^{j(\alpha_1 + \alpha_1' + \dots - \beta_1 - \beta_1' - \dots)} = |H(j\omega)| e^{j\phi}$$

où $|H(j\omega)|$ est le module de la fonction de transfert et ϕ sa phase.

Si les zéros sont situés dans le demi-plan de gauche, la phase de la fonction de transfert à la valeur minimale.

Si les zéros sont situés dans le demi-plan de droite, la fonction de transfert est à phase non minimale.

3.2 : Classification des fonctions de transfert selon l'emplacement de leurs pôles et de leurs zéros :

D'après la formule (1) du paragraphe 3.1, on voit que la fonction de transfert $H(p)$ est complètement définie lorsqu'on connaît la position de ses zéros et de ses pôles.

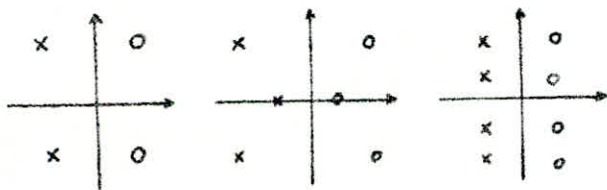
De même, la fonction de transfert peut être à phase minimale ou non minimale suivant la position des zéros, pour un même module.

Notons que dans le cas où la phase est minimale, il y a une relation biunivoque entre le module et la phase de la fonction de transfert :

$$\ln |H(j\omega)| = -\frac{1}{\pi} \int_{-\infty}^{\infty} \frac{\Phi(u)}{u - \omega} du$$

Les fonctions de transfert du type "passe-tout" sont de phase non minimale et ont des zéros symétriques des pôles. Dans ce cas, le module est constant et la phase variable de sorte que ces fct

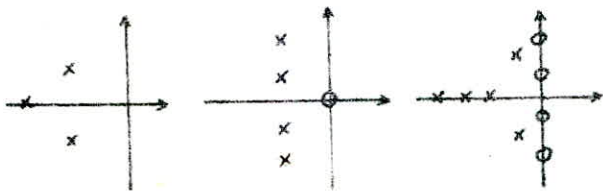
de transfert peuvent être utilisées pour corriger les caractéristiques de phase.
 Ainsi, suivant la position des pôles et des zéros, on distingue les fonctions de transfert suivantes :



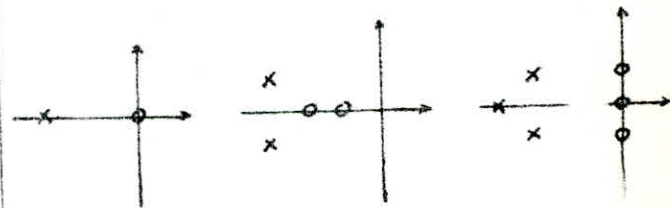
Fonctions de transfert "pass-tout"



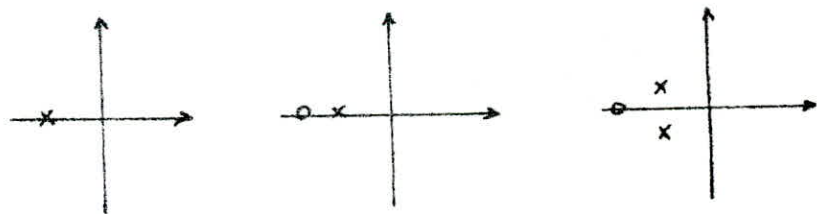
Fonctions de transfert "coupe bande"



Fonctions de transfert "passe-bande"



Fonctions de transfert "passe-haut"



Fonctions de transfert "passe-bas"

x : pôles

o : zéros.

4. Relation entre $R_{\text{entree}}(\tau)$ et $R_{\text{sortie}}(\tau)$ et entre $S_{\text{entree}}(\omega)$ et $S_{\text{sortie}}(\omega)$.

Soit un système linéaire de réponse impulsionnelle $k(t)$ et de fonction de transfert $\Phi(j\omega)$.

À l'entrée de ce système est appliqué un signal aléatoire stationnaire $m(t)$, de fonction d'auto-correlation $R_m(\tau)$ et densité spectrale $S_m(\omega)$, et nous désirons calculer la fonction d'auto-correlation $R_x(\tau)$ et la densité spectrale $S_x(\omega)$ de son signal de sortie $x(t)$.

$$\text{Nous avons : } R_x(\tau) = \lim_{T \rightarrow \infty} \frac{1}{2T} \int_{-T}^T x(t+\tau) x(t) dt,$$

On sait que le signal de sortie est relié à celui d'entrée par la relation :

$$x(t) = \int_{-\infty}^{\infty} m(t-\lambda) k(\lambda) d\lambda,$$

Donc, en permutant l'ordre des intégrations, on a :

$$R_x(\tau) = \lim_{T \rightarrow \infty} \int_{-T}^T d\lambda \int_{-\infty}^{+\infty} d\eta k(\eta) k(\lambda) \left\{ \frac{1}{2T} \int_{-T}^T m(t+\tau-\eta) m(t-\lambda) dt \right\}.$$

Nous remarquons que :

$$\begin{aligned} \lim_{T \rightarrow \infty} \frac{1}{2T} \int_{-T}^T m(t+\tau-\eta) m(t-\lambda) dt &= \lim_{T \rightarrow \infty} \frac{1}{2T} \int_{-T}^T m(t+\tau+\lambda-\eta) m(t) dt = \\ &= R_m(\tau+\lambda-\eta) \end{aligned}$$

On déduit la relation entre R_x et R_m :

$$R_x(\tau) = \int_{-\infty}^{\infty} d\lambda \int_{-\infty}^{\infty} k(\eta) k(\lambda) R_m(\tau+\lambda-\eta) d\eta.$$

Déterminons la relation entre les densités spectrales :

on sait que :

$$S_x(\omega) = \int_{-\infty}^{\infty} R_x(\tau) e^{-j\omega\tau} d\tau,$$

en remplaçant $R_x(\tau)$ par sa valeur en fonction de $R_m(\tau)$, on obtient

$$S_x(\omega) = |\Phi(j\omega)|^2 S_m(\omega).$$

5. Densité spectrale de l'erreur

Soit le cas le plus général d'un système linéaire soumis à deux entrées aléatoires stationnaires : le signal "utile" $m(t)$ et une perturbation $n(t)$ appliqués en des points différents du système.

La réponse sera donc :

$$x(t) = \int_0^{\infty} m(t-\lambda) k(\lambda) d\lambda + \int_0^{\infty} n(t-\lambda) l(\lambda) d\lambda, \quad (1)$$

La fonction de corrélation de la réponse est :

$$R_x(\tau) = \lim_{T \rightarrow \infty} \frac{1}{2T} \int_{-T}^T x(t+\tau) x(t) dt,$$

et portant dans cette relation la valeur de $x(t)$ donnée par (1), on obtient :

$$R_x(\tau) = \int_{-\infty}^{\infty} d\lambda \int_{-\infty}^{\infty} \left\{ k(\lambda) R_m(\tau+\lambda-\eta) k(\eta) + l(\lambda) R_n(\tau+\lambda-\eta) l(\eta) + \right. \\ \left. + l(\lambda) R_{mn}(\tau+\lambda-\eta) k(\eta) + k(\lambda) R_{nm}(\tau+\lambda-\eta) l(\eta) \right\} d\eta$$

De cette formule, on déduit la densité spectrale de la sortie :

$$S_x(\omega) = |\Phi(j\omega)|^2 S_m(\omega) + |Y(j\omega)|^2 S_n(\omega) + \Phi^*(j\omega) S_{mn}(\omega) Y(j\omega) + \\ + \Phi(j\omega) S_{nm}(\omega) Y^*(j\omega), \quad \text{où } Y(j\omega) \text{ est la fonction}$$

de transfert relative à la perturbation.

Dans le cas particulier (mais fréquent) où $S_{mn}(\omega) = S_{nm}(\omega) = 0$ (le signal "utile" et la perturbation sont indépendants), on a :

$$S_x(\omega) = |\Phi(j\omega)|^2 S_m(\omega) + |Y(j\omega)|^2 S_n(\omega)$$

On déduit l'expression de $S_z(\omega)$, sachant que $\Phi_z(j\omega) = 1 - \Phi(j\omega)$:

$$S_z(\omega) = |\Phi_z(j\omega)|^2 S_m(\omega) + |Y(j\omega)|^2 S_n(\omega) + \Phi_z^*(j\omega) S_{mn}(\omega) Y(j\omega) + \Phi_z(j\omega) S_{nm}(\omega) Y^*(j\omega)$$

et dans le cas particulier précédent :

$$S_z(\omega) = |\Phi_z(j\omega)|^2 S_m(\omega) + |Y(j\omega)|^2 S_n(\omega)$$

6- Expression de la dispersion de la grandeur de sortie.

Soit $x_0(t)$ la grandeur d'entrée d'un système linéaire et $x(t)$ sa grandeur de sortie.

Supposons que l'espérance mathématique m_{x_0} est nulle.

Dans ce cas, la dispersion de $x(t)$ sera :

$$\begin{aligned} \sigma_x^2 &= \lim_{T \rightarrow \infty} \frac{1}{2T} \int_{-T}^T x(t)^2 dt \\ &= \lim_{T \rightarrow \infty} \frac{1}{2T} \int_{-T}^T x(t) \left[\frac{1}{2\pi} \int_{-\infty}^{+\infty} X_x(j\omega) e^{-j\omega t} d\omega \right] dt \end{aligned}$$

avec $X_x(j\omega)$, la transformée de Fourier de $x(t)$.

On sait que $X_x(-j\omega) = H_{\frac{x}{x_0}}(-j\omega) X_{x_0}(-j\omega)$ où

$H_{\frac{x}{x_0}}(j\omega)$ est la fonction de transfert du système et

$X_{x_0}(j\omega)$ la transformée de Fourier de $x_0(t)$.

$$\text{Donc : } \sigma_x^2 = \lim_{T \rightarrow \infty} \frac{1}{2T} \int_{-T}^T x(t) \left[\frac{1}{2\pi} \int_{-\infty}^{+\infty} H_{\frac{x}{x_0}}(-j\omega) X_{x_0}(-j\omega) e^{-j\omega t} d\omega \right] dt$$

En permutant les deux intégrations :

$$\sigma_x^2 = \lim_{T \rightarrow \infty} \frac{1}{2T} \int_{-T}^T H_{\frac{x}{x_0}}(-j\omega) X_{x_0}(-j\omega) \cdot \frac{1}{2\pi} d\omega \underbrace{\int_{-\infty}^{\infty} x(t) e^{-j\omega t} dt}_{X_x(j\omega) = H_{\frac{x}{x_0}}(j\omega) \cdot X_{x_0}(j\omega)}$$

Donc :

$$\sigma_x^2 = \lim_{T \rightarrow \infty} \frac{1}{2T} \cdot \frac{1}{2\pi} \int_{-T}^T |H_{\frac{x}{x_0}}(j\omega)|^2 |X_{x_0}(j\omega)|^2 d\omega \quad \text{soit,}$$

$$\sigma_x^2 = \frac{1}{2\pi} \int_{-\infty}^{\infty} |H_{\frac{x}{x_0}}(j\omega)|^2 \cdot \underbrace{\lim_{T \rightarrow \infty} \frac{|X_{x_0}(j\omega)|^2}{2T}}_{S_{x_0}(\omega)} d\omega$$

$$\text{D'où} \quad \sigma_x^2 = \frac{1}{2\pi} \int_{-\infty}^{\infty} |H_{\frac{x}{x_0}}(j\omega)|^2 S_{x_0}(\omega) d\omega.$$

6.1: Cas particuliers :

i) Dispersion de l'accélération de sortie $\ddot{x}(t)$:

$$\sigma_{\ddot{x}}^2 = \frac{1}{2\pi} \int_{-\infty}^{\infty} |H_{\frac{\ddot{x}}{\ddot{x}_0}}(j\omega)|^2 S_{\ddot{x}_0}(\omega) d\omega.$$

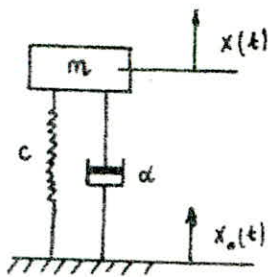
ii) Dispersion de l'écart $x(t) - x_0(t)$:

$$\sigma_{x-x_0}^2 = \frac{1}{2\pi} \int_{-\infty}^{\infty} |H_{\frac{x-x_0}{x_0}}(j\omega)|^2 S_{\ddot{x}_0}(\omega) d\omega$$

$$\text{Avec } H_{\frac{x-x_0}{x_0}}(j\omega) = -\frac{1}{\omega^2} H_{\frac{x-x_0}{x_0}}(j\omega)$$

6.2 : Exemples de détermination de la dispersion de l'accélération pour des systèmes soumis à un processus blanc :

1^{er} exemple : Systeme constitué d'une seule masse, un ressort de rigidité c et un amortisseur caractérisé par la constante α .



La relation donnant la dispersion de l'accélération est :

$$\sigma_{\ddot{x}}^2 = \frac{1}{2\pi} \int_{-\infty}^{+\infty} |H_{\frac{x}{x_0}}(j\omega)|^2 S_{x_0}(j\omega) d\omega, \text{ Avec } S_{x_0} = \text{constante} = N^2.$$

Déterminons la fonction de transfert du système $H_{\frac{x}{x_0}}$.

La relation fondamentale de la dynamique donne :

$m\ddot{x} = -c(x-x_0) - \alpha(\dot{x}-\dot{x}_0)$, relation à laquelle on applique transformation de Fourier et qui devient :

$$ms^2 \bar{x}(s) = -c(\bar{x}(s) - \bar{x}_0(s)) - \alpha s(\bar{x}(s) - \bar{x}_0(s)), \text{ soit}$$

$$ms^2 \bar{x}(s) = -\bar{x}(s)(c + \alpha s) + \bar{x}_0(s)(c + \alpha s), \text{ d'où}$$

$$(ms^2 + \alpha s + c) \bar{x}(s) = \bar{x}_0(s)(c + \alpha s) \quad \text{et} \quad H_{\frac{x}{x_0}}(s) = \frac{\bar{x}(s)}{\bar{x}_0(s)} = \frac{c + \alpha s}{ms^2 + \alpha s + c}$$

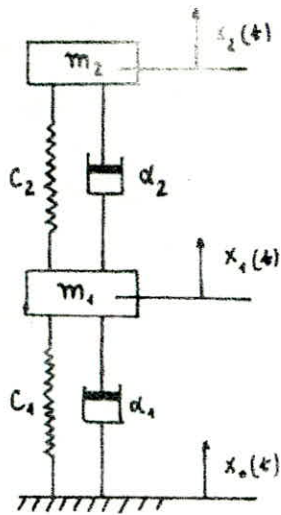
Pour $s = j\omega$, on déduit $H_{\frac{x}{x_0}}(j\omega) = \frac{c + j\alpha\omega}{(c - m\omega^2) + j\alpha\omega}$, et,

$$\left| H_{\frac{x}{x_0}}(j\omega) \right|^2 = \frac{\alpha^2 \omega^2 + c^2}{[(-m\omega^2 + c) + j\alpha\omega][(-m\omega^2 + c) - j\alpha\omega]}$$

Portant cette expression et celle donnant S_{x_0} dans la relation $\sigma_{\ddot{x}}^2$, on obtient :

$$\sigma_{\ddot{x}}^2 = \frac{N^2 \alpha^2 + mc}{2m\alpha}$$

2^e exemple : Systeme constitué de 2 masses m_1, m_2 , 2 ressorts de rigidités c_1 et c_2 et de 2 amortisseurs de constantes caractéristiques α_1 et α_2



On a les relations suivantes :

$$\sigma_{\ddot{x}_1}^2 = \frac{1}{2\pi} \int_{-\infty}^{\infty} |H_{\frac{x_1}{x_0}}(j\omega)|^2 S_{\ddot{x}_0}(\omega) d\omega$$

$$\sigma_{\ddot{x}_2}^2 = \frac{1}{2\pi} \int_{-\infty}^{\infty} |H_{\frac{x_2}{x_0}}(j\omega)|^2 S_{\ddot{x}_0}(\omega) d\omega$$

Déterminons les fonctions de transfert $H_{\frac{x_1}{x_0}}$ et $H_{\frac{x_2}{x_0}}$.

La relation fondamentale de la dynamique donne le système :

$$\begin{cases} m_2 \ddot{x}_2 = -c_2(x_2 - x_1) - \alpha_2(\dot{x}_2 - \dot{x}_1) \\ m_1 \ddot{x}_1 = -c_1(x_1 - x_0) - \alpha_1(\dot{x}_1 - \dot{x}_0) + c_2(x_2 - x_1) + \alpha_2(\dot{x}_2 - \dot{x}_1) \end{cases}$$

Appliquons la transformation de Fourier :

$$\begin{cases} m_2 s^2 \bar{x}_2 = -c_2(\bar{x}_2 - \bar{x}_1) - \alpha_2 s(\bar{x}_2 - \bar{x}_1) \rightarrow (m_2 s^2 + \alpha_2 s + c_2) \bar{x}_2 = \bar{x}_1 (\alpha_2 s + c_2) \\ m_1 s^2 \bar{x}_1 = -c_1(\bar{x}_1 - \bar{x}_0) - \alpha_1 s(\bar{x}_1 - \bar{x}_0) + c_2(\bar{x}_2 - \bar{x}_1) + \alpha_2 s(\bar{x}_2 - \bar{x}_1) \\ = -\bar{x}_1 [\alpha_1 s + c_1] + \bar{x}_2 (\alpha_2 s + c_2) + \bar{x}_0 (\alpha_1 s + c_1) \end{cases}$$

$$\text{D'où, } \bar{x}_1 \left[m_1 s^2 + (\alpha_1 s + c_1) + \frac{(\alpha_2 s + c_2)^2}{m_2 s^2 + \alpha_2 s + c_2} \right] = \bar{x}_0 (\alpha_1 s + c_1)$$

$$\text{et } H_{\frac{x_1}{x_0}}(s) = \frac{(\alpha_1 s + c_1)(m_2 s^2 + \alpha_2 s + c_2)}{m_1 m_2 s^4 + s^3 (m_1 \alpha_2 + \alpha_1 m_2 + \alpha_2 m_2) + s^2 (m_1 c_2 + \alpha_1 \alpha_2 + m_2 c_1 + m_2 c_2) + s(\alpha_1 c_2 + c_1 \alpha_2) + c_1 c_2}$$

$$\text{D'où } H_{\frac{x_1}{x_0}}(j\omega) = \frac{(c_1 + j\alpha_1 \omega)(-m_2 \omega^2 + c_2 + j\alpha_2 \omega)}{\left\{ m_1 m_2 \omega^4 - \omega^2 [(\alpha_1 \alpha_2 + m_2 c_1) + c_2 (m_1 + m_2)] + c_1 c_2 \right\} + j \left\{ \omega (\alpha_1 c_2 + \alpha_2 c_1) - \omega^3 [\alpha_2 (m_1 + m_2)] \right\}}$$

Soit finalement :

$$G_{\ddot{x}_1}^2 = N^2 \cdot \frac{1}{2\pi} \int_{-\infty}^{\infty} \left| \frac{\{c_1 c_2 - \omega^2 (\alpha_1 \alpha_2 + m_2 c_1)\} + j \{ \omega (\alpha_1 c_2 + \alpha_2 c_1) - m_2 \alpha_1 \omega^3 \}}{\{m_1 m_2 \omega^4 - \omega^2 [(\alpha_1 \alpha_2 + m_2 c_1) + c_2 (m_1 + m_2)] + c_1 c_2\} + j \{ \omega (\alpha_1 c_2 + \alpha_2 c_1) - \omega^3 [\alpha_2 (m_1 + m_2) + m_1 \alpha_1] \}} \right|^2 d\omega$$

ou :

$$G_{\ddot{x}_1}^2 = N^2 \cdot \frac{1}{2\pi} \int_{-\infty}^{\infty} \frac{m_2^2 \alpha_1^2 \omega^6 + \omega^4 (\alpha_1^2 \alpha_2^2 + m_2^2 c_1^2 - 2m_2 \alpha_1^2 c_2) + \omega^2 (\alpha_1^2 c_2^2 + \alpha_2^2 c_1^2 - 2m_2 c_1^2 c_2) + c_1^2 c_2^2}{\left\{ m_1 m_2 \omega^4 - \omega^2 [(\alpha_1 \alpha_2 + m_2 c_1) + c_2 (m_1 + m_2)] + c_1 c_2 \right\} + j \left\{ \omega (\alpha_1 c_2 + \alpha_2 c_1) - \omega^3 [\alpha_2 (m_1 + m_2) + m_1 \alpha_1] \right\}}^2 d\omega$$

La solution est donnée par la formule suivante :

$$G_{\ddot{x}_1}^2 = N^2 \cdot \frac{b_0 (-a_1 a_4 + a_2 a_3) - a_0 a_3 b_1 + a_0 a_1 b_2 + \frac{a_0 b_3}{a_4} (a_0 a_3 - a_1 a_2)}{2a_0 (a_0 a_3^2 + a_1^2 a_4 - a_1 a_2 a_3)} \quad (2)$$

avec : $a_0 = m_1 m_2$; $a_1 = \alpha_2 (m_1 + m_2) + m_2 \alpha_1$; $a_2 = (\alpha_1 \alpha_2 + m_2 c_1) + c_2 (m_1 + m_2)$;
 $a_3 = \alpha_1 c_2 + \alpha_2 c_1$ et $a_4 = c_1 c_2$,

$b_0 = -m_2^2 \alpha_1^2$; $b_1 = \alpha_1^2 \alpha_2^2 + m_2^2 c_1^2 - 2m_2 \alpha_1^2 c_2$;
 $b_2 = 2m_2 c_1^2 c_2 - \alpha_1^2 c_2^2 - \alpha_2^2 c_1^2$; et $b_3 = c_1^2 c_2$, soit :

$$G_{\ddot{x}_1}^2 = N^2 \cdot \frac{N_1}{D_1} \text{ avec } N_1 \text{ et } D_1 \text{ les polynomes suivants :}$$

$$N_1 = 2m_1^2 m_2^2 \alpha_1^2 c_1^2 c_2 + m_1 m_2^2 \alpha_1^2 \alpha_2 c_1 c_2 + m_1 m_2^2 \alpha_2^2 c_1^2 c_2 - m_2^2 \alpha_1^4 \alpha_2 c_2 - m_2^2 \alpha_1^3 \alpha_2^2 c_1 - m_2^2 \alpha_1^2 \alpha_2^3 c_1^2 +$$

$$- m_2^3 \alpha_1^3 c_2^2 - m_1 m_2 \alpha_1^3 \alpha_2^2 c_2 - m_1 m_2 \alpha_1^2 \alpha_2^3 c_1 - m_1 m_2^2 \alpha_1^2 c_1^3 - m_1^2 m_2 \alpha_1^2 \alpha_2 c_2^2 - m_1^2 m_2 \alpha_2^3 c_1^2 +$$

$$- m_1 m_2^2 \alpha_1 \alpha_2^2 c_1^2 - m_1 m_2^2 \alpha_1^2 \alpha_2 c_2^2 - m_1 m_2^2 \alpha_1 \alpha_2^2 c_1 c_2 - m_1 m_2^2 \alpha_2^3 c_1 c_2 - m_1 m_2^2 \alpha_2^3 c_1^2 +$$

$$- m_1^2 m_2 \alpha_2 c_1 c_2^2 - m_1^2 m_2 \alpha_1 \alpha_2^2 c_1 c_2 - 2m_1^2 m_2^2 \alpha_2 c_1 c_2^2 - m_1 m_2^2 \alpha_1 c_1 c_2^2$$

$$D_1 = 2m_1 m_2 \left(2m_1 m_2 \alpha_1 \alpha_2 c_1 c_2 - m_1^2 \alpha_1 \alpha_2 c_2^2 - m_1^2 \alpha_1^2 \alpha_2^2 c_2 - 2m_1 m_2 \alpha_1 \alpha_2 c_2^2 - m_2^2 \alpha_1^3 \alpha_2 c_2 + \right.$$

$$\left. - m_2^2 \alpha_1^2 c_2^2 - m_2 \alpha_1^2 \alpha_2^2 c_2 - m_2^2 \alpha_1 \alpha_2 c_2^2 - m_1 \alpha_1 \alpha_2^3 c_1 - m_2 \alpha_1^2 \alpha_2^2 c_1 + \right.$$

$$\left. - m_2^2 \alpha_1 \alpha_2 c_1^2 - m_2 \alpha_1 \alpha_2^3 c_1 - m_2^2 \alpha_2^2 c_1^2 \right)$$

d'après la relation (1) on a : $H_{\frac{x_1}{x_0}}(s) = H_{\frac{x_1}{x_0}}(s) \cdot \frac{\alpha_2 s + c_2}{m_2 s^2 + \alpha_2 s + c_2}$

TROISIEME PARTIE

De la même façon que précédemment on obtient :

$$\ddot{x}_2^2 = N_2^2 \frac{1}{2\pi} \int_{-\infty}^{\infty} \frac{\alpha_1^2 \alpha_2^2 \omega^4 + \omega^2 (\alpha_1^2 c_2^2 + \alpha_2^2 c_1^2) + c_1^2 c_2^2}{\left\{ m_1 m_2 \omega^4 - \omega^2 [(\alpha_1 \alpha_2 + m_2 c_1) + c_2 (m_1 + m_2)] + c_1 c_2 \right\} + j \left\{ \omega (\alpha_1 c_2 + \alpha_2 c_1) - \omega^3 [\alpha_2 (m_1 + m_2) + m_2 \alpha_1] \right\}} d\omega$$

intégrale dont la solution est donnée par la relation (2) avec :

- * a_0, a_1, a_2, a_3 et a_4 mêmes valeurs que dans le cas précédent,
- * $b_0 = 0$; $b_1 = \alpha_1^2 \alpha_2^2$; $b_2 = -(\alpha_1^2 c_2^2 + \alpha_2^2 c_1^2)$; $b_3 = c_1^2 c_2^2$,

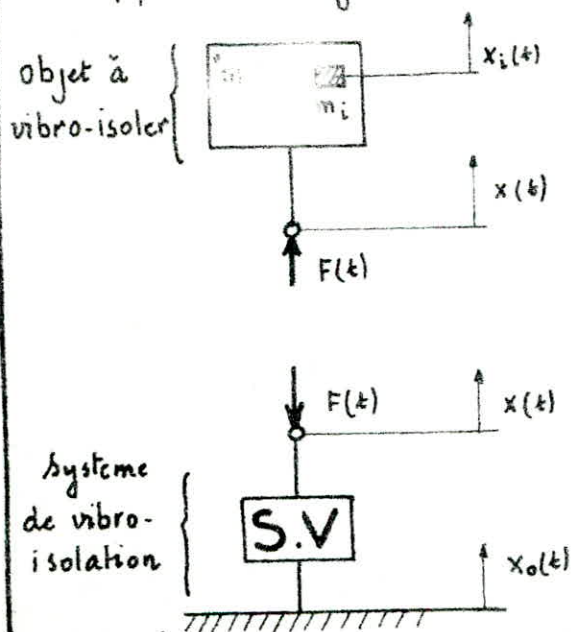
soit $\ddot{x}_2^2 = \frac{N_2}{D_1}$, D_1 polynôme précédent et N_2 le polynôme :

$$N_2 = -m_1 m_2 \alpha_1^3 \alpha_2^2 c_2^2 - m_1 m_2 \alpha_1^2 \alpha_2^3 c_1^2 - m_1^2 m_2 \alpha_1^2 \alpha_2^2 c_2^2 - m_1^2 m_2 \alpha_2^3 c_1^2 - m_1 m_2^2 \alpha_1^2 c_2^2 - m_1 m_2^2 \alpha_2^2 c_1^2 + \\ - m_1 m_2^2 \alpha_1^2 \alpha_2^2 c_2^2 - m_1 m_2^2 \alpha_2^3 c_1^2 - m_1^3 m_2 \alpha_2 c_1 c_2^2 - m_1^2 m_2 \alpha_1 \alpha_2^2 c_1 c_2 - 2 m_1^2 m_2^2 \alpha_2 c_1 c_2^2 - m_1 m_2^2 \alpha_1^2 \alpha_2 c_1 c_2 + \\ - m_1 m_2^3 \alpha_1 c_1 c_2^2 - m_1 m_2^3 \alpha_2 c_1^2 c_2 - m_1 m_2^2 \alpha_1 \alpha_2^2 c_1 c_2 - m_1 m_2^3 \alpha_2 c_1^2 c_2 - m_1 m_2^2 \alpha_2 c_1 c_2^2$$

En comparant les deux exemples, on remarque facilement que, du 1^{er} au 2^e exemple, le calcul de la dispersion de l'accélération devient de plus en plus compliqué et on s'arrêtera sur ce deuxième, la méthode de calcul étant identique à celle exposée, pour tous les cas.

III. CONSTRUCTION ANALYTIQUE des S.V

(pour un objet donné).



Soit la représentation générale du problème à étudier suivante :

1. Caractéristiques de l'objet vibro-isolé

L'objet vibro-isolé est représenté par un modèle à paramètres discrets.

2. Hypothèses

2.1: Concernant le système de vibro-isolation :

Système linéaire à structure inconnue.

2.2: Concernant l'état des vibrations :

On suppose qu'il n'existe que des vibrations verticales.

2.3: Concernant la nature de l'excitation $x_0(t)$:

$x_0(t)$ est un processus normal, stationnaire et ergodique.

Sa densité spectrale est une fonction rationnelle de ω^2 .

2.4: Concernant l'action des systèmes :

On suppose qu'il n'y a aucune action des systèmes sur l'excitation.

3. Probleme de criteres

D'un côté, le système de vibro-isolation doit être souple pour obtenir par exemple une accélération minimale, mais d'un autre côté il doit être rigide pour limiter les déplacements relatifs.

On voit donc qu'on est en présence de deux critères contradictoires. Le problème consiste donc à trouver un cas optimum un cas satisfaisant chacun des critères sans influences sur l'autre.

Si on pose : $S(t) = x(t) - x_0(t)$

$\ddot{x}_i(t)$ = Accélération de la i^{e} masse,

avec les hypothèses :

$$\begin{cases} S(t) = 0 & \text{pour } t < 0 \\ \ddot{x}_i(t) = 0 & \text{pour } t < 0 \end{cases}$$

le problème énoncé ci-haut se traduit en la minimisation

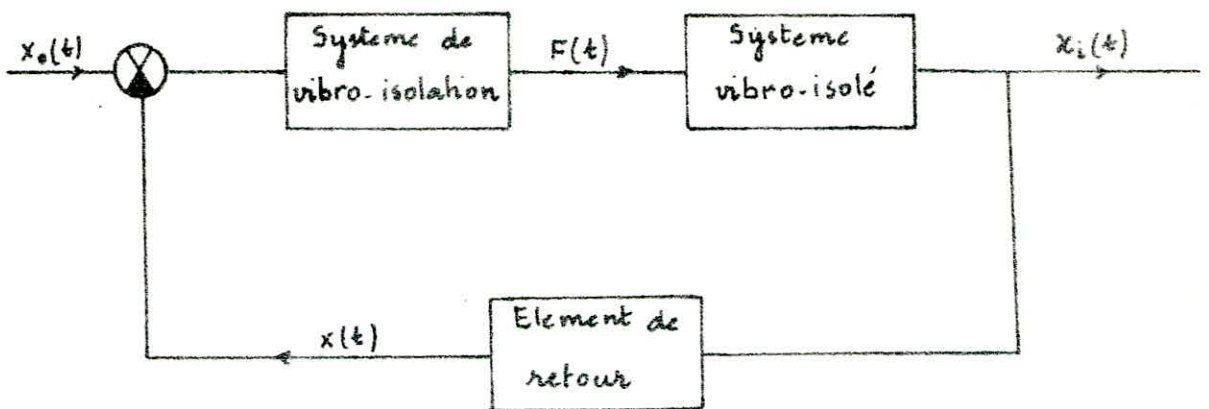
La fonctionnelle C :

$$C = \int_0^{\infty} [\dot{x}(t)]^2 dt + \sum_{i=1}^n \lambda_i \int_0^{\infty} [\ddot{x}_i(t)]^2 dt ,$$

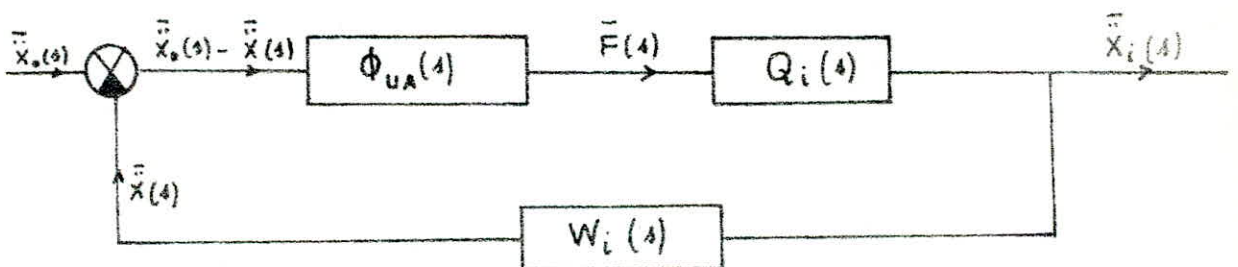
où les λ_i constituent les multiplicateurs de Lagrange.

4. Formulation mathématique du pb

Le problème peut être posé, tenant compte des hypothèses, de la façon suivante :



Faisons intervenir les transformées de Laplace $\bar{x}_0(s)$, $\bar{x}_i(s)$, $\bar{x}(s)$



En boucle ouverte on a :



En boucle ouverte on a :

$$\frac{\bar{x}_i(s)}{\bar{x}_o(s)} = \Phi(s) Q_i(s)$$

En boucle fermée on a :

$$\frac{\bar{x}_i(s)}{\bar{x}_o(s)} = \frac{\Phi_{UA}(s) \cdot Q_i(s)}{1 + \Phi_{UA}(s) \cdot Q_i(s) \cdot W_i(s)}$$

$$\Rightarrow \Phi(s) = \frac{\Phi_{UA}(s)}{1 + \Phi_{UA}(s) \cdot Q_i(s) \cdot W_i(s)}$$

avec $\Phi(s) = \frac{\bar{F}(s)}{\bar{x}_o(s)}$

Soient :

$$L_i(s) = \frac{\bar{x}_i(s)}{\bar{x}(s)}, \quad L(s) = \frac{\bar{F}(s)}{\bar{x}(s)},$$

alors $Q_i(s) = \frac{\bar{x}_i(s)}{\bar{F}(s)} = \frac{\bar{x}_i(s)}{\bar{x}(s)} \cdot \frac{\bar{x}(s)}{\bar{F}(s)} = \frac{s^2 \bar{x}_i(s)}{\bar{x}(s)} \cdot \frac{\bar{x}(s)}{\bar{F}(s)} = \frac{s^2 L_i(s)}{L(s)}$

et $W_i(s) = \frac{\bar{x}(s)}{\bar{x}_i(s)} = \frac{1}{L_i(s)}$

La fonctionnelle C est équivalente à :

$$C = \langle \delta^2(t) \rangle + \sum_{i=1}^n \lambda_i \langle \ddot{x}_i^2(t) \rangle \quad \text{où}$$

$$\langle \delta^2(t) \rangle = \lim_{T \rightarrow \infty} \frac{1}{2T} \int_{-T}^T \delta^2(t) dt; \quad \langle \ddot{x}_i^2(t) \rangle = \lim_{T \rightarrow \infty} \frac{1}{2T} \int_{-T}^T \ddot{x}_i^2(t) dt$$

Si l'on considère que les valeurs moyennes de $\delta(t)$ et de $\ddot{x}_i(t)$ sont nulles, alors :

$$\langle \delta^2(t) \rangle = \sigma_{x-r_0}^2$$

, Dispersion de l'écart.

$$\langle \ddot{x}_i^2(t) \rangle = \sigma_{\ddot{x}_i}^2$$

, Dispersion de l'accélération.

la fonctionnelle sera donc :

$$C = \sigma_{x-x_0}^2 + \sum_{i=1}^n \lambda_i \sigma_{\bar{x}_i}^2, \quad (1)$$

avec donc :

$$\sigma_{x-x_0}^2 = \frac{1}{2\pi j} \int_{-j\infty}^{j\infty} \left| H_{\frac{x-x_0}{\bar{x}_0}}(s) \right|^2 S_{\bar{x}_0}(s) ds \quad (s = j\omega)$$

$$\sigma_{\bar{x}_i}^2 = \frac{1}{2\pi j} \int_{-j\infty}^{j\infty} \left| H_{\frac{\bar{x}_i}{\bar{x}_0}}(s) \right|^2 S_{\bar{x}_0}(s) ds \quad (s = j\omega)$$

les fonctions de transfert H étant égales à :

$$H_{\frac{x-x_0}{\bar{x}_0}}(s) = \frac{\bar{x}(s) - \bar{x}_0(s)}{\bar{x}_0(s)} = \frac{\frac{\bar{x}(s)}{F(s)} - \frac{\bar{x}_0(s)}{F(s)}}{\frac{\bar{x}_0(s)}{F(s)}} = \frac{\frac{1}{L(s)} - \frac{1}{s^2 \Phi(s)}}{\frac{1}{\Phi(s)}} = \frac{s^2 \Phi(s) - L(s)}{s^2}$$

$$H_{\frac{\bar{x}_i}{\bar{x}_0}}(s) = \frac{\bar{x}_i(s)}{\bar{x}_0(s)} = \frac{\bar{x}_i(s)}{\bar{x}(s)} \cdot \frac{s^2 \bar{x}(s)}{s^2 \bar{x}_0(s)} = L_i(s) \cdot \frac{\bar{x}(s)}{F(s)} \cdot \frac{F(s)}{\bar{x}_0(s)}$$

$$\text{soit } H_{\frac{\bar{x}_i}{\bar{x}_0}}(s) = \frac{s^2 L_i(s) \cdot \Phi(s)}{L(s)}$$

$$\text{Soit } G(s) = \frac{s^2}{L(s)}$$

$$\text{Donc : } H_{\frac{x-x_0}{\bar{x}_0}}(s) = \frac{\Phi(s) G(s) - 1}{s^2} ; \quad H_{\frac{\bar{x}_i}{\bar{x}_0}}(s) = G(s) \cdot L_i(s) \cdot \Phi(s)$$

et tenant compte du fait que $|H(s)|^2 = H(s) \cdot H(-s)$, la relation (1) s'écrit donc :

$$C = \frac{1}{2\pi j} \int_{-\infty}^{\infty} \left\{ \left[\frac{\Phi(s)G(s)-1}{s^2} \right] \left[\frac{\Phi(-s)G(-s)-1}{s^2} \right] + \sum_{i=1}^n \lambda_i \left[G(s)L_i(s)\Phi(s) \right] \left[G(-s)L_i(-s)\Phi(-s) \right] \right\} \times S_{\bar{x}_0}(s) ds.$$

Tenant compte du fait que, par hypothèse, $S_{\bar{x}_0}(w)$ est une fraction rationnelle de w^2 , on peut écrire :

$$S_{\bar{x}_0}(s) = s^4 \cdot S_0 \cdot \Psi(s) \cdot \Psi(-s) \text{ avec } S_0 = \text{constante.}$$

Finalement :

$$C = \frac{1}{2\pi j} \int_{-\infty}^{\infty} \left\{ \left[\Phi(s)G(s)-1 \right] \left[\Phi(-s)G(-s)-1 \right] + \sum_{i=1}^n \lambda_i s^4 \left[G(s)L_i(s)\Phi(s) \right] \left[G(-s)L_i(-s)\Phi(-s) \right] \right\} S_0 \Psi(s) \Psi(-s) ds$$

5. Solution generale du probleme par l'equation de Wiener-Hopf

Soit $\Phi_w(s) = \Phi(s) + \varepsilon \eta(s)$ où $\eta(s)$ = Fonction de balance arbitraire.
 ε = Parametre constant.
 $\varepsilon \eta(s)$ = represente ainsi $\Phi_w(s) - \Phi(s)$.

$\Phi_w(s)$ represente la fonction optimum pour laquelle la fonctionnelle est minimale. Soit C^* la valeur de cette dernière, c'est à dire :

$$C^* = \frac{1}{2\pi j} \int_{-\infty}^{\infty} \left\{ \left[(\Phi(s) + \varepsilon \eta(s))G(s)-1 \right] \left[(\Phi(-s) + \varepsilon \eta(-s))G(-s)-1 \right] + \sum_{i=1}^n \lambda_i s^4 \left[G(s)L_i(s)(\Phi(s) + \varepsilon \eta(s)) \right] \left[G(-s)L_i(-s)(\Phi(-s) + \varepsilon \eta(-s)) \right] \right\} S_0 \Psi(s) \Psi(-s) ds$$

Soit $\delta C = C^* - C$ l'erreur ou l'ecart entre C^* et C .

Alors on a :

$$\delta C = \frac{1}{2\pi j} \int_{-j^\infty}^{j^\infty} \left\{ \left[(\Phi(s)G(s) + \varepsilon \eta(s)G(s) - 1) \right] \left[\Phi(-s)G(-s) + \varepsilon \eta(-s)G(-s) - 1 \right] - \left[\Phi(s)G(s) - 1 \right] \left[\Phi(-s)G(-s) - 1 \right] \right. \\ \left. + \sum_{i=1}^n \lambda_i s^4 \left[(G(s)L_i(s)\Phi(s) + G(s)L_i(s)\varepsilon \eta(s)) (G(-s)L_i(-s)\Phi(-s) + G(-s)L_i(-s)\varepsilon \eta(-s)) \right. \right. \\ \left. \left. - (G(s)L_i(s)\Phi(s)) (G(-s)L_i(-s)\Phi(-s)) \right] \right\} S_0 \varphi(s) \varphi(-s) ds.$$

$$\delta C = \frac{1}{2\pi j} \int_{-j^\infty}^{j^\infty} \left\{ \left[\varepsilon \eta(s)G(s)\Phi(-s)G(-s) - \varepsilon \eta(s)G(s) + \varepsilon^2 \eta(s)\eta(-s)G(s)G(-s) - \varepsilon \eta(-s)G(-s) + \right. \right. \\ \left. \left. + \varepsilon \eta(-s)G(-s)\Phi(s)G(s) \right] + \sum_{i=1}^n \lambda_i s^4 \left[G(s)L_i(s)\Phi(s)G(-s)L_i(-s)\varepsilon \eta(-s) \right. \right. \\ \left. \left. + G(s)L_i(s)\varepsilon \eta(s)G(-s)L_i(-s)\Phi(-s) + \varepsilon^2 G(s)G(-s)L_i(s)L_i(-s)\eta(s)\eta(-s) \right] \right\} \\ \times S_0 \varphi(s) \varphi(-s) ds.$$

Identifier $\Phi(s)$ à $\Phi_w(s)$ revient à avoir l'écart δC minimum pour $\varepsilon = 0$, ce qui se traduit par :

$$\left. \frac{d(\delta C)}{d\varepsilon} \right|_{\varepsilon=0} = 0, \text{ donc :}$$

$$\int_{-j^\infty}^{j^\infty} \left\{ \left[\Phi(s)G(s)G(-s)\eta(-s) + \Phi(-s)G(-s)G(s)\eta(s) - G(-s)\eta(-s) - \eta(s)G(s) \right] + \right. \\ \left. + \sum_{i=1}^n \lambda_i s^4 \left[\Phi(s)G(s)G(-s)L_i(s)L_i(-s)\eta(-s) + \Phi(-s)G(-s)G(s)L_i(-s)L_i(s)\eta(s) \right] \right\} \\ \times S_0 \varphi(s) \varphi(-s) ds = 0, \text{ soit :}$$

$$\int_{-j^\infty}^{j^\infty} \left\{ \left[(G(s)G(-s) + \sum_{i=1}^n \lambda_i s^4 L_i(s)L_i(-s)G(s)G(-s)) \Phi(s) - G(-s) \right] \eta(-s) + \left[(G(s)G(-s) + \right. \right. \\ \left. \left. + \sum_{i=1}^n \lambda_i s^4 L_i(s)L_i(-s)G(s)G(-s)) \Phi(-s) - G(s) \right] \eta(s) \right\} \times S_0 \varphi(s) \varphi(-s) ds = 0$$

Posons :

$$D(s)D(-s) = \left[1 + \sum_{i=1}^n \lambda_i s^4 L_i(s) L_i(-s) \right] G(s)G(-s)$$

On aura donc :

$$\int_{-j\infty}^{j\infty} \left\{ \left[D(s)D(-s) f(s)f(-s) \Phi(s) - G(-s)f(s)f(-s) \right] \eta(-s) + \left[D(s)D(-s) f(s)f(-s) \Phi(-s) + \right. \right. \\ \left. \left. - G(s)f(s)f(-s) \right] \eta(s) \right\} \times ds = 0$$

$$\int_{-j\infty}^{j\infty} \left\{ \left[D(s)f(s)\Phi(s) - \frac{G(-s)f(s)}{D(-s)} \right] D(-s)f(-s)\eta(-s) + \left[D(-s)f(-s)\Phi(-s) - \frac{G(s)f(-s)}{D(s)} \right] D(s)f(s)\eta(s) \right\} \\ \times ds = 0$$

que l'on peut écrire :

$$\int_{-j\infty}^{j\infty} \left[D(s)f(s)\Phi(s) - \frac{G(-s)f(s)}{D(-s)} \right] D(-s)f(-s)\eta(-s) ds + \\ + \int_{-j\infty}^{j\infty} \left[D(-s)f(-s)\Phi(-s) - \frac{G(s)f(-s)}{D(s)} \right] D(s)f(s)\eta(s) ds = 0$$

$D(s)f(s)\Phi(s)$ a des pôles à gauche de l'axe imaginaire, par conséquent, de $\frac{G(-s)f(s)}{D(-s)}$ on ne prend que la partie ayant des pôles à gauche

pour pouvoir effectuer la différence $D(s)f(s)\Phi(s) - \frac{G(-s)f(s)}{D(-s)}$ en

respectant les conditions de stabilité et de réalisation.

Dans la 2^e intégrale, on a le contraire et l'on doit avoir donc l'intégrale :

$$\int_{-j\infty}^{j\infty} \left[D(-s)f(-s)\Phi(-s) - \left\{ \frac{G(s)f(-s)}{D(s)} \right\} \right] D(s)f(s)\eta(s) ds$$

En effectuant un changement de variable $s \rightarrow -s$ on aura :

G.S. BROWN / O.P. CAMPBELL - "PRINCIPLES OF SERVO-MECHANISMS" J. WILEY & SONS,
INC. NEW YORK 1948.

$$- \int_{-j\infty}^{j\infty} \left[D(s) f(s) \phi(s) - \left\{ \frac{G(-s) f(s)}{D(-s)} \right\}_+ \right] D(-s) f(-s) \eta(-s) ds, \text{ soit :}$$

$$\int_{-j\infty}^{j\infty} \left[D(s) f(s) \phi(s) - \left\{ \frac{G(-s) f(s)}{D(-s)} \right\}_+ \right] D(-s) f(-s) \eta(-s) ds, \text{ integrale identique}$$

à la première, donc le problème consiste en la résolution de l'équation intégrale :

$$2 \int_{-j\infty}^{j\infty} \left[D(s) f(s) \phi(s) - \left\{ \frac{G(-s) f(s)}{D(-s)} \right\}_+ \right] D(-s) f(-s) \eta(-s) ds = 0$$

D'où :

$$\phi(s) = \frac{1}{D(s) f(s)} \left\{ \frac{G(-s) f(s)}{D(-s)} \right\}_+$$

Si l'on pose :

$$R(s) R(-s) = 1 + \sum_{i=1}^n \lambda_i s^u L_i(s) L_i(-s), \text{ c'est à dire,}$$

$$D(s) D(-s) = R(s) R(-s) G(s) G(-s), \text{ donc que } D(s) = R(s) G(s),$$

on aura :

$$\phi(s) = \frac{1}{R(s) G(s) f(s)} \left\{ \frac{G(-s) f(s)}{R(-s)} \right\}_+$$

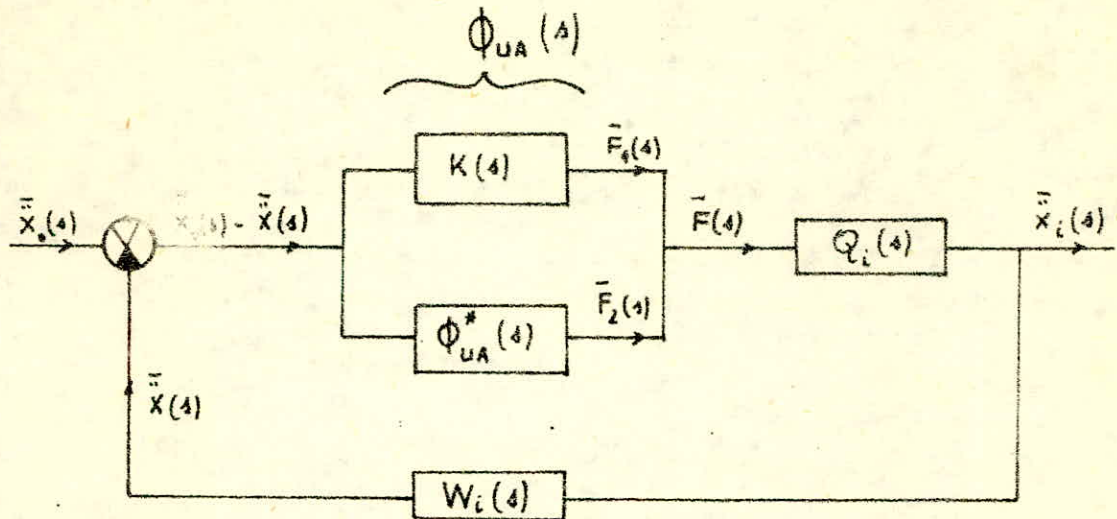
et l'on peut déduire $\Phi_{UA}(s)$ sachant que :

$$\Phi_{UA} = \frac{\phi(s)}{1 - \phi(s) W_i(s) Q_i(s)} = \frac{\phi(s)}{1 - \phi(s) \frac{s^2}{L(s)}}$$

$$\Phi_{UA} = \frac{\phi(s)}{1 - \phi(s) G(s)}$$

Cas où l'on connaît partiellement la structure du système de vibro-isolation

Dans ce cas, on décompose la fonction de transfert totale Φ_{UA} .



$$\bar{F}_1(s) + \bar{F}_2(s) = \bar{F}(s)$$

$$K(s) = \frac{F_1(s)}{\bar{x}_0(s) - \bar{x}(s)} \quad \text{connue}$$

$$\Phi_{UA}^*(s) = \frac{F_2(s)}{\bar{x}_0(s) - \bar{x}(s)} \quad \text{inconnue}$$

On calcule comme précédemment $\Phi_{UA}(s)$

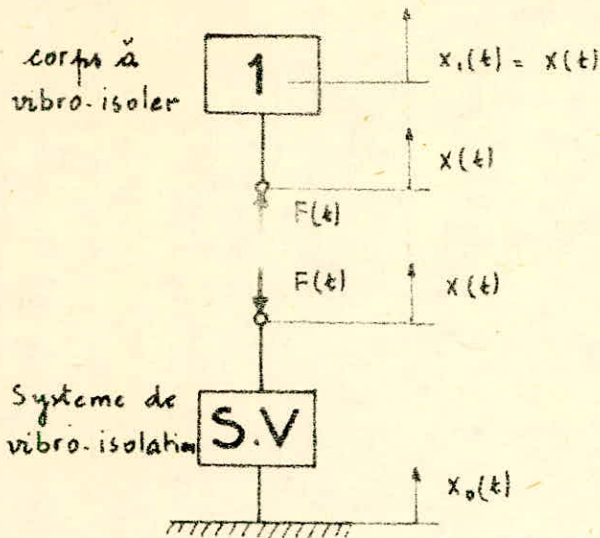
$$\Phi_{UA}(s) = \frac{\Phi(s)}{1 - \Phi(s)G(s)}$$

Comme $\Phi_{UA}(s) = \Phi_{UA}^*(s) + K(s)$, on déduit $\Phi_{UA}^*(s)$:

$$\Phi_{UA}^*(s) = \frac{\Phi(s)}{1 - \Phi(s)G(s)} - K(s)$$

IV - S.V POUR VIBRO-ISOLER UN CORPS RIGIDE

1. Schema et relations



Dans ce cas on a :

$$L_1(s) = \frac{\bar{x}_1(s)}{\bar{x}(s)} = 1 \Rightarrow R(s)R(-s) = 1 + \lambda s^4$$

La fonction optimum du système de vibro-isolation est donnée par la relation :

$$\Phi(s) = \frac{1}{f(s)R(s)G(s)} \left\{ \frac{f(s)}{R(-s)} \right\}_+ \quad \text{avec}$$

$$f(s) \text{ telle que } S_{\bar{x}_0}(s) = S_0 s^4 f(s) f(-s)$$


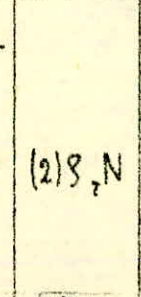
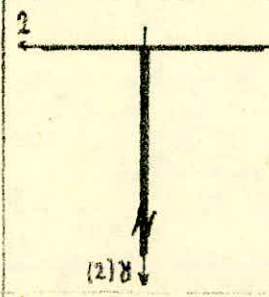
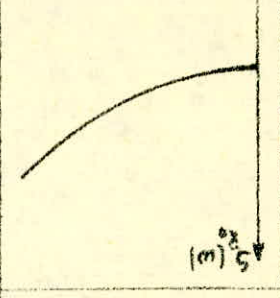
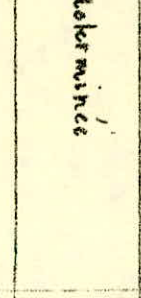
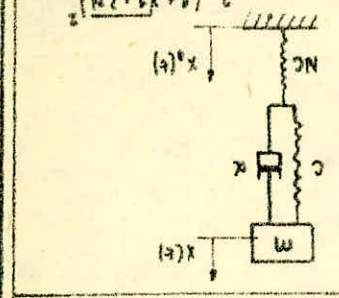
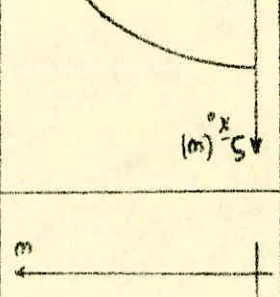
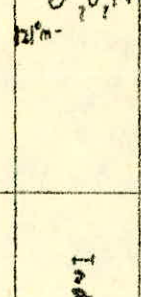
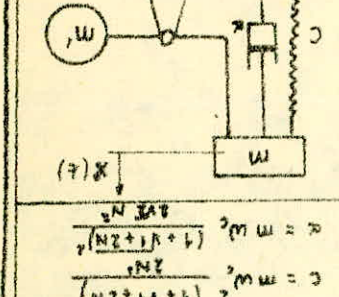
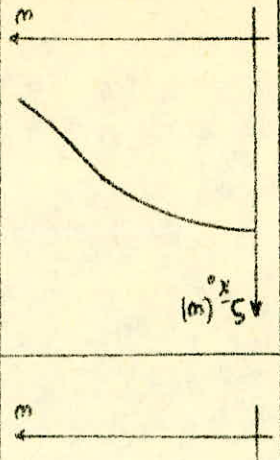
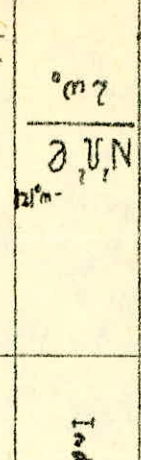
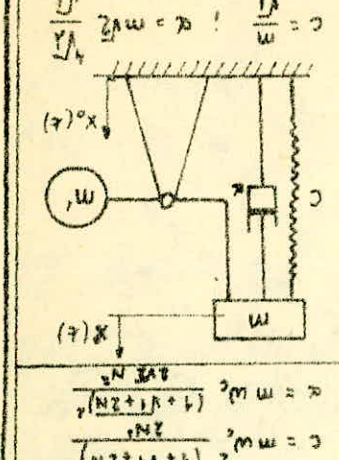
$$G(s) = \frac{s^2}{L(s)} \quad \text{où } L(s) = \frac{\bar{F}(s)}{\bar{x}(s)} = m s^2 \quad \text{où } m = \text{masse du corps.}$$

2. $\Phi(s)$ pour différentes formes de $S_{\bar{x}_0}(s)$.

On considèrera 3 formes de $S_{\bar{x}_0}(s)$, soient :

$$S_{\bar{x}_0}(s) = N^2 = \text{cste (bruit blanc)} ; \quad S_{\bar{x}_0}(s) = \frac{N^2}{\Omega^2} (-s^2 + \omega_0^2) ; \quad S_{\bar{x}_0}(s) = \frac{N^2 \Omega^2}{-s^2 + \omega_0^2}$$

Fonction de transfert optimum d'un système de vibro-isolation pour différentes formes de la densité spectrale de l'accélération de l'excitation et réalisations physiques possibles.

<p>Densité spectrale $S_x(\omega)$</p>	<p>Graphique de $S_x(\omega)$</p> 	<p>Fonction d'auto-correlation $R(\tau)$</p> 	<p>Graphique de $R(\tau)$</p> 	<p>$\Phi(\omega) = \frac{F(\omega)}{X_0(\omega)}$</p>	<p>$\frac{X_0(\omega)}{L(\omega)} = \frac{X_0(\omega)}{L(\omega)}$</p>	<p>Realisation possible.</p>
<p>N^2</p>	<p>Indolence</p> 	<p>$N^2 S(\tau)$</p> 	<p>$\frac{(\sqrt{2} \omega_c \delta + \omega_c^2) m}{\delta^2 + \sqrt{2} \omega_c \delta + \omega_c^2}$</p> <p>avec : $\omega_c^2 = \frac{\gamma}{\lambda}$</p>	<p>$m \left[(\omega_c^2 + \sqrt{2} \omega_c \omega) \delta + \omega_c^2 \omega_0^2 \right]$</p> <p>$\delta^2 + \sqrt{2} \omega_c \omega + \omega_0^2$</p>	<p>$\frac{\sqrt{2} \omega_c \delta + \omega_c^2}{\delta^2 + \sqrt{2} \omega_c \delta + \omega_c^2}$</p>	 <p>$\alpha = m \sqrt{\frac{\gamma}{\lambda}}$</p> <p>$C = m \sqrt{\frac{\gamma}{\lambda}}$</p>
<p>$N^2 \left(-\delta^2 + \omega_0^2 \right)$</p>	<p>Indolence</p> 	<p>Indolence</p> 	<p>$\frac{(\omega_c^2 + \sqrt{2} \omega_c \omega) \delta + \omega_c^2 \omega_0^2}{\delta^2 + \sqrt{2} \omega_c \omega + \omega_0^2}$</p> <p>$\delta^2 + \sqrt{2} \omega_c \omega + \omega_0^2$</p>	<p>$\frac{(\omega_c^2 + \sqrt{2} \omega_c \omega) \delta + \omega_c^2 \omega_0^2}{\delta^2 + \sqrt{2} \omega_c \omega + \omega_0^2}$</p> <p>$\delta^2 + \sqrt{2} \omega_c \omega + \omega_0^2$</p>	<p>$\frac{(\omega_c^2 + \sqrt{2} \omega_c \omega) \delta + \omega_c^2 \omega_0^2}{\delta^2 + \sqrt{2} \omega_c \omega + \omega_0^2}$</p>	 <p>$\alpha = m \omega_c^2$</p> <p>$C = m \omega_c^2 (1 + \sqrt{1 + 2N})$</p> <p>$c = m \omega_c^2 (1 + \sqrt{1 + 2N})$</p>
<p>$N^2 \frac{(-\delta^2 + \omega_0^2)}{2}$</p>	<p>Indolence</p> 	<p>$N^2 \frac{(-\delta^2 + \omega_0^2)}{2}$</p> 	<p>$\frac{(\omega_c^2 + \sqrt{2} \omega_c \omega) \delta + \omega_c^2 \omega_0^2}{\delta^2 + \sqrt{2} \omega_c \omega + \omega_0^2}$</p> <p>$\delta^2 + \sqrt{2} \omega_c \omega + \omega_0^2$</p>	<p>$\frac{(\omega_c^2 + \sqrt{2} \omega_c \omega) \delta + \omega_c^2 \omega_0^2}{\delta^2 + \sqrt{2} \omega_c \omega + \omega_0^2}$</p> <p>$\delta^2 + \sqrt{2} \omega_c \omega + \omega_0^2$</p>	<p>$\frac{(\omega_c^2 + \sqrt{2} \omega_c \omega) \delta + \omega_c^2 \omega_0^2}{\delta^2 + \sqrt{2} \omega_c \omega + \omega_0^2}$</p>	 <p>$\alpha = m \omega_c^2$</p> <p>$C = m \omega_c^2 (1 + \sqrt{1 + 2N})$</p> <p>$c = m \omega_c^2 (1 + \sqrt{1 + 2N})$</p>

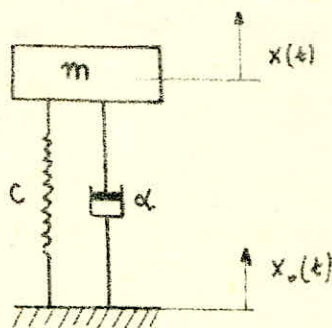
3. Comparaison des résultats

La comparaison des résultats trouvés précédemment et mentionnés dans le tableau se fera en considérant un système de vibro-isolation donné avec qui on comparera la dispersion de l'accélération de sortie pour chacun des 3 cas d'excitation.

On nommera :

- $\sigma_{\ddot{x}_{opt}}^2$: La dispersion de l'accélération de l'objet dans le cas du S.V optimum.
- $\sigma_{\ddot{x}}^2$: La dispersion de l'accélération de l'objet dans le cas du S.V donné.
- R : Le rapport $\sigma_{\ddot{x}_{opt}}^2 / \sigma_{\ddot{x}}^2$.

Soit le système de vibro-isolation (S.V) donné suivant :



3.1: Excitation par un bruit blanc : $S_{\ddot{x}_0}(\omega) = \text{cte} = N^2$.

* La dispersion de l'accélération de l'objet pour le système de vibro-isolation donné est calculée précédemment (parag. II.6.2, 1^{er} exple) et on a :

$$\sigma_{\ddot{x}}^2 = N^2 \frac{\alpha^2 + mc}{2m\alpha}$$

* Le système de vibro-isolation optimum correspondant à ce type d'excitation est donné par le tableau précédent, système identique à celui donné, avec :

$$c = m\sqrt{\frac{1}{\lambda}} \quad \text{et} \quad \alpha = m^2\sqrt{\frac{4}{\lambda}}, \quad \text{d'où}$$

$$\sigma_{\ddot{x}_{opt}}^2 = N^2 \cdot \frac{3}{2\sqrt{2}} \sqrt{\frac{1}{\lambda}}$$

Donc $R = \frac{\frac{3}{2\sqrt{2}} \sqrt[4]{\frac{1}{\lambda}}}{\frac{\alpha^2 + mc}{2m\alpha}}$ et pour α et c fixés on aura la courbe

de variation suivante :

Posons $\lambda = \lambda_0 \frac{\rho}{1-\rho}$ avec $\lambda_0 = 1$ [Unité].

La variation de λ de 0 à ∞ équivaut à la variation de ρ de 0 à 1.

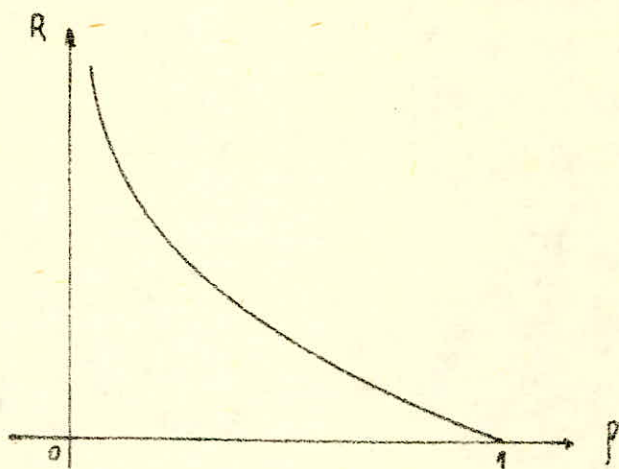


Fig 1 :

3.2 : Excitation par un processus $x_0(t)$ tel que $S_{\ddot{x}_0}(\omega) = N^2 \Omega^2 \cdot \frac{1}{-\delta^2 + \omega_0^2}$

* La dispersion de l'accélération de l'objet pour le système de vibro-isolation donné d'avance sera :

$$\sigma_{\ddot{x}}^2 = N^2 \Omega^2 \cdot \frac{1}{2\pi} \int_{-\infty}^{\infty} \frac{\alpha^2 \omega^2 + c^2}{[(c - m\omega^2) + j\alpha\omega][(c - m\omega^2) - j\alpha\omega](\omega_0 + j\omega)(\omega_0 - j\omega)} d\omega$$

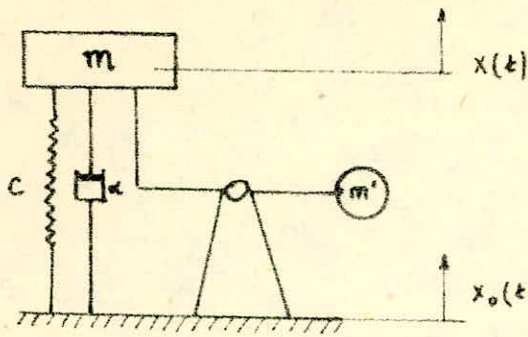
soit :

$$\sigma_{\ddot{x}}^2 = N^2 \Omega^2 \cdot \frac{\alpha^2 \omega_0 + mc\omega_0 + c\alpha}{2\omega_0 (m\alpha\omega_0^2 + \alpha^2\omega_0 + c\alpha)} \text{ et puisque } \omega_0^2 = \frac{c}{m}$$

on a finalement :

$$\sigma_{\ddot{x}}^2 = N^2 \Omega^2 \frac{mc + \alpha^2 + \alpha\sqrt{mc}}{\sqrt{\frac{c}{m}} (4\alpha\sqrt{mc} + 2\alpha^2)}$$

* Le système de vibro-isolation optimum correspondant à ce type d'excitation est donné par le tableau précédent et on a :



$$c = \frac{m}{\sqrt{\lambda}} ; \quad \alpha = m\sqrt{2} \frac{\sqrt[4]{\lambda}}{\sqrt{\lambda}}$$

$$m' = m(1 + \sqrt{2})$$

système dont la fonction de transfert est :

$$H(s) = \frac{a_2 s^2 + \sqrt{2} \omega_c s + \omega_c^2}{s^2 + \sqrt{2} \omega_c s + \omega_c^2}$$

La dispersion de l'accélération de l'objet pour ce système de vibro-isolation sera :

$$\sigma_{\ddot{x}_{opt}}^2 = N^2 \Omega^2 \cdot \frac{1}{2\pi} \int_{-\infty}^{\infty} \frac{(-a_2 \omega^2 + \omega_c^2)^2 + 2 \omega_c^4 \omega^2}{\left[(-\omega^2 + \omega_c^2) + j\sqrt{2} \omega_c \omega\right] (\omega_0 + j\omega) \times \left[(-\omega^2 + \omega_c^2) - j\sqrt{2} \omega_c \omega\right] (\omega_0 - j\omega)} d\omega$$

Soit :

$$\sigma_{\ddot{x}_{opt}}^2 = N^2 \Omega^2 \frac{3\omega_c^2 \omega_0^5 + 7\sqrt{2} \omega_c^3 \omega_0^4 + 16\omega_c^4 \omega_0^3 + 9\sqrt{2} \omega_c^5 \omega_0^2 + 6\omega_c^6 \omega_0 + \sqrt{2} \omega_c^7}{2\sqrt{2} \omega_c^7 \omega_0^7 + 12\omega_c^2 \omega_0^6 + 18\sqrt{2} \omega_c^3 \omega_0^5 + 32\omega_c^4 \omega_0^4 + 18\sqrt{2} \omega_c^5 \omega_0^3 + 12\omega_c^6 \omega_0^2 + 2\sqrt{2} \omega_c^7 \omega_0}$$

Lorsque $\omega_c = \sqrt[4]{\frac{1}{\lambda}}$ tend vers ∞ , c'est à dire $\lambda \rightarrow 0$ ($P \rightarrow 0$), on a

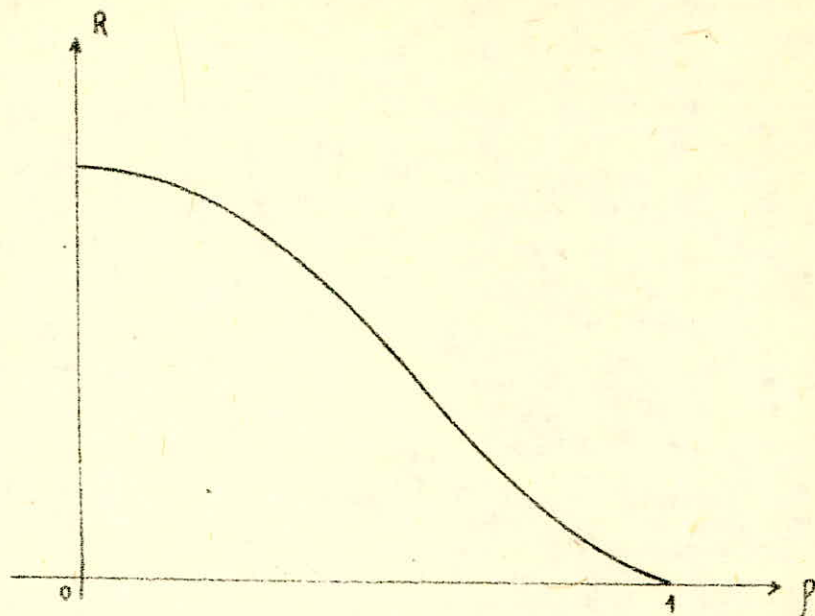
$$\sigma_{\ddot{x}_{opt}}^2 \text{ tend vers } N^2 \Omega^2 \frac{\sqrt{2}}{2\sqrt{2}} \cdot \frac{1}{\omega_0} = N^2 \Omega^2 \frac{1}{2\omega_0}$$

$$\text{Donc } R \text{ tend vers } \frac{2\alpha\sqrt{mc} + \alpha^2}{mc + \alpha\sqrt{mc} + \alpha^2}$$

Lorsque ω_c tend vers 0, c'est à dire $\lambda \rightarrow \infty$ ($P \rightarrow 1$), $\sigma_{\ddot{x}_{opt}}^2$ tend vers 0 donc R tend vers 0.

Pour α, c et m fixes on a la courbe de variation suivante :

Fig 2 :



3.3: Excitation par un processus $x_0(t)$ tel que $S_{x_0}(s) = \frac{N^2}{\Omega^2} (-s^2 + \omega_0^2)$

où $\omega_0 = \sqrt{\frac{c}{m}}$ = pulsation propre du système.

* La dispersion de l'accélération de l'objet pour le système donné est :

$$\sigma_{\ddot{x}}^2 = \frac{N^2}{\Omega^2} \cdot \frac{1}{2\pi} \int_{-\infty}^{\infty} \left| \frac{c + j\alpha\omega}{(-m\omega^2 + c) + j\alpha\omega} \right|^2 \cdot (\omega^2 + \omega_0^2) d\omega$$

$$\sigma_{\ddot{x}}^2 = \frac{N^2}{\Omega^2} \cdot \frac{1}{2\pi} \int_{-\infty}^{\infty} \frac{(c^2 + \alpha^2\omega^2)(\omega^2 + \omega_0^2)}{[(-m\omega^2 + c) + j\alpha\omega][(-m\omega_0^2 + c) - j\alpha\omega]} d\omega = \infty$$

L'intégrale est divergente. Ce qui entraîne que la dispersion de l'accélération est infinie ; ce qui veut dire que pour une telle excitation, le système n'est pas réalisable, sans quoi il serait instable.

* Le système de vibro-isolation optimum correspondant à ce type d'excitation est donné par le tableau précédent et on a :

On remarque que, dans les deux cas, la fonction $Q^2_{opt} = f(\lambda)$ est bornée et possède la valeur maximale, bien déterminée, pour $\lambda = 0$

Discussion des figures 1 et 2 :

Le système optimum est réalisable, malgré que le système de vibro-isolation donné d'avance est irréalisable.

Ces résultats ont pour l'excitation telle que $S_{x_0}(\omega) = \frac{N^2}{2} (\omega^2 + \omega_0^2)^{-2}$ propriété que Q^2_{opt} n'a pas, cette dernière étant infinie. Q^2_{opt} possède une valeur bien déterminée (valeur dépendant de λ),

$$Q^2_{opt} = \frac{N^2}{2} \cdot \frac{2 [\omega_0^2 \omega_c^2 - (\sqrt{2} \omega_c + \omega_0) (\omega_c^2 + \sqrt{2} \omega_c \omega_0)]}{(\omega_c^4 \omega_0^2 + (\omega_c^2 + \sqrt{2} \omega_c \omega_0)^2 \omega_0^2) - [\omega_c^4 \omega_0^2 + \omega_0^2 (\omega_c^2 + \sqrt{2} \omega_c \omega_0)^2] - (\sqrt{2} \omega_c + \omega_0) \omega_c^3 \omega_0^2}$$

soit :

$$Q^2_{opt} = \frac{N^2}{4} \cdot \frac{2\lambda \int_{-\infty}^{\infty} \left[\frac{\omega^4 \omega_0^2 + (\omega_c^2 + \sqrt{2} \omega_c \omega_0)^2 \omega_0^2}{\omega^2 (\omega_c^2 + \sqrt{2} \omega_c \omega_0) - \omega} \right] d\omega}{\omega^2 (\omega_c^2 + \sqrt{2} \omega_c \omega_0) + \omega_0^2 \omega_c^2}$$

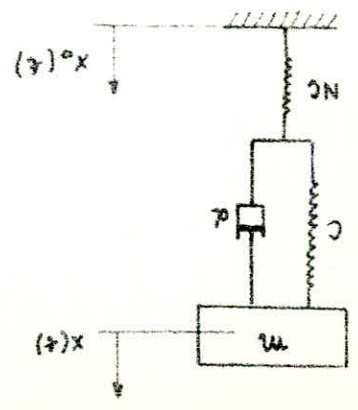
La dispersion de l'accélération de l'objet pour le système de vibro-isolation sera :

$$H(\omega) = \frac{\lambda^2 + \lambda^2 (\sqrt{2} \omega_c + \omega_0) + \lambda (\omega_c^2 + \sqrt{2} \omega_c \omega_0) + \omega_0 \omega_c^2}{(\omega_c^2 + \sqrt{2} \omega_c \omega_0) \lambda + \omega_c^2 \omega_0}$$

Le système donc la fonction de transfert est :

$$d = m \omega_c^2 \frac{2\sqrt{2} N^2}{(1 + \sqrt{1 + 2N})^2}$$

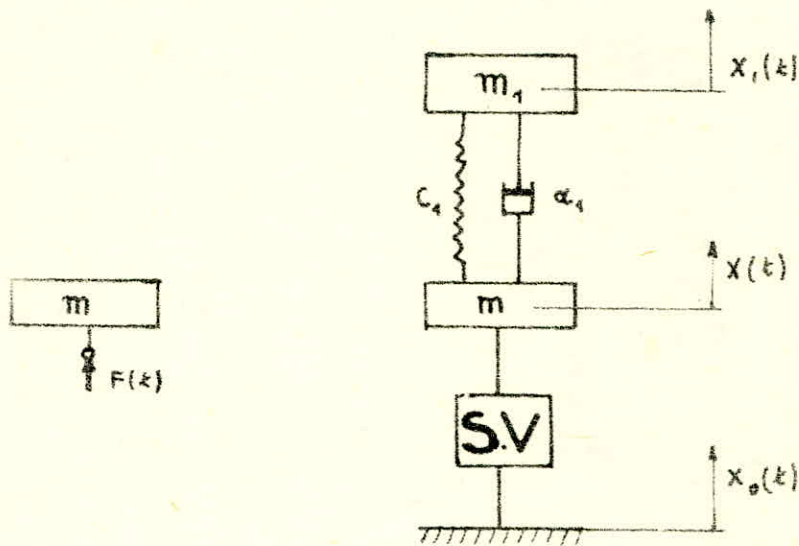
$$c = m \omega_c^2 \frac{2N^2}{(1 + \sqrt{1 + 2N})^2}$$



et tend vers zero lorsque λ devient très grand, isolant ainsi de plus en plus rigoureusement l'objet à vibro-isoler.

V. S.V POUR VIBRO-ISOLER UN SYSTEME DYNAMIQUE

1. $\Phi(s)$ en fonction de l'impedance de déplacement



La fonction de transfert optimum du systeme de vibro-isolation est donnée par la formule :

$$\Phi(s) = \frac{1}{R(s) \cdot f(s) \cdot G(s)} \left\{ \frac{f(s)}{R(-s)} \right\}_+ \quad (1)$$

où : $R(s) R(-s) = 1 + \lambda \delta^4 L_1(s) L_1(-s)$

$$L_1(s) = \frac{\bar{X}_1(s)}{X(s)} = \frac{\alpha_1 s + c_1}{m_1 s^2 + \alpha_1 s + c_1}$$

$f(s)$ telle que $S_{\bar{X}_0}(s) = \delta^4 \cdot S_0 \cdot f(s) \cdot f(-s)$

$$G(s) = \frac{L(s)}{\delta^2}$$

$$L(s) = \frac{\bar{F}(s)}{\bar{X}(s)} = Z(s) \text{ impedance de déplacement}$$

$$G(s) = \frac{\delta^2}{Z(s)}$$

Donc on a d'après (1) :
$$\Phi(s) = \frac{Z(s)}{R(s) \cdot f(s) \cdot \delta^2} \left\{ \frac{f(s)}{R(-s)} \right\}_+ \quad (2)$$

2. Schema et relations

La détermination de la fonction de transfert optimum nécessite la connaissance de chaque terme de la relation (2)

a) $R(s)$ est telle que $R(s)R(-s) = 1 + \lambda s^4 L_1(s)L_1(-s)$ avec

$$L_1(s) = \frac{\bar{X}_1(s)}{\bar{X}(s)} = \frac{\alpha_1 s + C_1}{m_1 s^2 + \alpha_1 s + C_1}$$

$$\text{Donc } R(s)R(-s) = 1 + \lambda s^4 \frac{\alpha_1 s + C_1}{m_1 s^2 + \alpha_1 s + C_1} \cdot \frac{-\alpha_1 s + C_1}{m_1 s^2 - \alpha_1 s + C_1}$$

$$\text{Soit } R(s)R(-s) = \frac{-\lambda \alpha_1^2 s^6 + s^4 (m_1^2 + \lambda C_1^2) + s^2 (2m_1 C_1 - \alpha_1^2) + C_1^2}{(m_1 s^2 + \alpha_1 s + C_1) \cdot (m_1 s^2 - \alpha_1 s + C_1)}$$

forme que l'on peut écrire ainsi :

$$R(s)R(-s) = \frac{As^3 + Bs^2 + Ds + E}{m_1 s^2 + \alpha_1 s + C_1} \cdot \frac{-As^3 + Bs^2 - Ds + E}{m_1 s^2 - \alpha_1 s + C_1}$$

où A, B, D et E des coefficients qui constituent les solutions du système d'équations suivant :

$$\begin{cases} A = \alpha_1 \sqrt{\lambda} \\ B^2 - 2\alpha_1 \sqrt{\lambda} D = m_1^2 + \lambda C_1^2 \\ 2BC_1 - D^2 = 2m_1 C_1 - \alpha_1^2 \\ E = C_1 \end{cases}$$

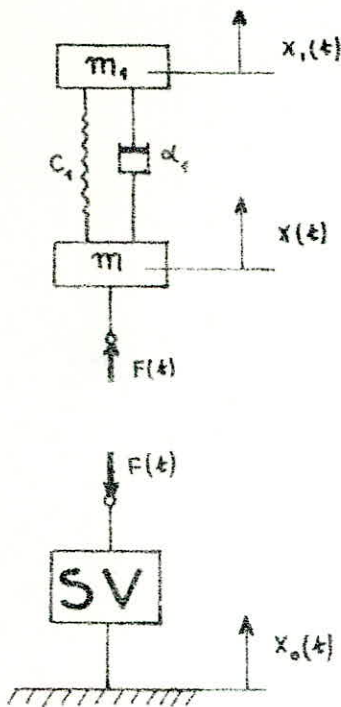
La résolution de ce système non linéaire en B et D nous permettra de déterminer la forme de $R(s)$, soit :

$$R(s) = \frac{As^3 + Bs^2 + Ds + E}{m_1 s^2 + \alpha_1 s + C_1}$$

b) L'impédance de déplacement $Z(s)$ du système est telle que :

$$Z(s) = \frac{\bar{F}(s)}{\bar{X}(s)}$$

On a le schéma suivant :



On peut écrire la relation suivante :

$$m \ddot{x} = F + c_1(x_1 - x) + \alpha_1(\dot{x}_1 - \dot{x})$$

En introduisant la transformation de Laplace on a :

$$m \bar{\ddot{x}}(s) = \bar{F}(s) + c_1(\bar{x}_1 - \bar{x}) + \alpha_1(s\bar{x}_1 - s\bar{x})$$

Avec l'hypothèse que les conditions initiales sont nulles, on a :

$$m s^2 \bar{x}(s) = \bar{F}(s) - \bar{x}(s)(c_1 + \alpha_1 s) + \bar{x}_1(s)(c_1 + \alpha_1 s)$$

$$\Rightarrow (m s^2 + \alpha_1 s + c_1) \bar{x}(s) = \bar{F}(s) + \bar{x}_1(s)(\alpha_1 s + c_1) \quad (3)$$

comme $\frac{x_1(s)}{x(s)} = \frac{\alpha_1 s + c_1}{m_1 s^2 + \alpha_1 s + c_1}$, $(m_1 \bar{x}_1 = -c_1(x_1 - x) - \alpha_1(\dot{x}_1 - \dot{x}))$

Donc (3) devient :

$$(m s^2 + \alpha_1 s + c_1) \bar{x}(s) = \bar{F}(s) + \bar{x}(s) \frac{(\alpha_1 s + c_1)^2}{m_1 s^2 + \alpha_1 s + c_1}$$

Soit : $\left(m s^2 + \alpha_1 s + c_1 - \frac{(\alpha_1 s + c_1)^2}{m_1 s^2 + \alpha_1 s + c_1} \right) \bar{x}(s) = \bar{F}(s)$, d'où

$$Z(s) = \frac{\bar{F}(s)}{\bar{X}(s)} = \frac{m m_1 s^4 + (m + m_1) \alpha_1 s^3 + (m + m_1) c_1 s^2}{m_1 s^2 + \alpha_1 s + c_1}$$

c) $\psi(s)$ depend du type d'excitation de la façon :

$$S_{\bar{x}_0}(s) = s^4 \cdot S_0 \cdot \psi(s) \cdot f(-s) \quad \text{ou} \quad S_0 = \text{constante.}$$

Finalement, on peut écrire la relation donnant la fonction de transfert optimum du système de vibro-isolation; l'en effet, d'après (2) on a :

$$\Phi(s) = \frac{mm_1 s^2 + (m+m_1)\alpha_1 s + (m+m_1)c_1}{(As^3 + Bs^2 + Ds + E) \cdot \mathcal{F}(s)} \left\{ \frac{\mathcal{F}(s)}{R(-s)} \right\} + \quad (4)$$

avec $\Phi(s) = \frac{\bar{F}(s)}{\bar{X}_o(s)}$

Déterminons $H_{\frac{x}{x_o}}(s)$.

$$\Phi(s) = \frac{\bar{F}(s)}{\bar{X}_o(s)} = \frac{1}{s^2 \bar{X}_o(s)} \cdot \bar{X}(s) \left(\frac{m_1 m s^4 + (m+m_1)\alpha_1 s^3 + (m+m_1)c_1 s^2}{m_1 s^2 + \alpha_1 s + c_1} \right)$$

$$\Rightarrow H_{\frac{x}{x_o}}(s) = \frac{\bar{X}(s)}{\bar{X}_o(s)} = \Phi(s) \cdot \frac{m_1 s^2 + \alpha_1 s + c_1}{mm_1 s^2 + (m+m_1)\alpha_1 s + (m+m_1)c_1}$$

soit :
$$H_{\frac{x}{x_o}}(s) = \frac{m_1 s^2 + \alpha_1 s + c_1}{(As^3 + Bs^2 + Ds + E) \cdot \mathcal{F}(s)} \left\{ \frac{\mathcal{F}(s)}{R(-s)} \right\} + \quad (5)$$

indépendante de la masse m , contrairement à $\Phi(s)$.

3. $\Phi(s)$ pour deux formes de $S_{\bar{x}_o}(s)$

a) $S_{\bar{x}_o}(s) = N^2 = \text{constante}$ (bruit blanc)

$$\left. \begin{aligned} \mathcal{F}(s) \text{ sera donc : } & S_{\bar{x}_o}(s) = s^4 \cdot S_o \cdot \mathcal{F}(s) \cdot \mathcal{F}(-s) \\ & S_{\bar{x}_o}(s) = s^4 \cdot N^2 \cdot \frac{1}{s^2} \cdot \frac{1}{(-s)^2} \end{aligned} \right\} \Rightarrow \begin{aligned} S_o &= N^2 \\ \mathcal{F}(s) &= \frac{1}{s^2} \end{aligned}$$

La relation (4) nous donne $\Phi(s)$:

$$\phi(s) = \frac{mm_1 s^2 + (m+m_1)\alpha_1 s + (m+m_1)c_1}{(As^3 + Bs^2 + Ds + E)} \cdot \frac{1}{s^2} \left\{ \frac{\frac{1}{s^2}}{\frac{-As^3 + Bs^2 - Ds + E}{m_1 s^2 - \alpha_1 s + c_1}} \right\} +$$

Posons $M = \frac{m_1 s^2 - \alpha_1 s + c_1}{s^2 (-As^3 + Bs^2 - Ds + E)}$

$$M = \underbrace{\frac{Fs + G}{s^2}}_{M_+} + \underbrace{\frac{Hs^2 + Is + J}{-As^3 + Bs^2 - Ds + E}}_{M_-}$$

(M_+ possède des pôles à gauche de l'axe imaginaire ou nuls)

Après calcul, on obtient : $G = \frac{c_1}{E}$ et $F = \frac{-\alpha_1 E + c_1 D}{E^2}$

donc $M_+ = \frac{(-\alpha_1 E + c_1 D)s + c_1 E}{E^2 s^2}$, et

$$\phi(s) = \frac{mm_1 (-\alpha_1 E + c_1 D) s^3 + s^2 [mm_1 c_1 E + (m+m_1)(-\alpha_1 E + c_1 D)\alpha_1]}{(As^3 + Bs^2 + Ds + E) E^2} +$$

$$\frac{s [(m+m_1)\alpha_1 c_1 E + (m+m_1)(-\alpha_1 E + c_1 D)c_1] + (m+m_1)c_1^2 E}{(As^3 + Bs^2 + Ds + E) E^2}$$

soit,

$$\phi(s) = \frac{mm_1 c_1 (-\alpha_1 + D) s^3 + [mm_1 c_1 + (m+m_1)(-\alpha_1 + D)\alpha_1] c_1 s^2 + (m+m_1)c_1^2 D s + (m+m_1)c_1^3}{Ac_1^2 s^3 + Bc_1^2 s^2 + Dc_1^2 s + c_1^3}$$

b) $S_{\tilde{x}_0}(s) = 2\alpha_1 N^2 \cdot \frac{\Omega^2 - s^2}{(\Omega^2 + s^2)^2 - 4\alpha_1 s^2}$

Déterminons $f(s)$:

$$S_{x_0}(s) = 2\alpha_1 N^2 \cdot s^4 \cdot \frac{\Omega + s}{s^2 (s^2 + 2\sqrt{\alpha_1} s + \Omega^2)} \cdot \frac{\Omega - s}{s^2 (s^2 - 2\sqrt{\alpha_1} s + \Omega^2)}$$

$$\text{d'où } \varphi(s) = \frac{\Omega + s}{s^2 (s^2 + 2\sqrt{\alpha_1} s + \Omega^2)}$$

Dans ce cas :

$$M = \frac{(\Omega + s)(m_1 s^2 - \alpha_1 s + c_1)}{s^2 (s^2 + 2\sqrt{\alpha_1} s + \Omega^2) (-As^3 + Bs^2 - Ds + E)}, \text{ ou}$$

$$M = \underbrace{\frac{Fs^3 + Gs^2 + Hs + I}{s^2 (s^2 + 2\sqrt{\alpha_1} s + \Omega^2)}}_{M_+} + \underbrace{\frac{Js^2 + Ks + L}{-As^3 + Bs^2 - Ds + E}}_{M_-}$$

La détermination des coefficients F, G, H, I nécessite la résolution du système d'équations, d'inconnues F, G, H, I, J, K et L, suivant :

$$\left\{ \begin{array}{l} -AF + J = 0. \\ FB - AG + K + 2\sqrt{\alpha_1} J = 0. \\ -FD + GB - AH + L + 2\sqrt{\alpha_1} K + J\Omega^2 = 0. \\ FE - GD + HB - AI + 2\sqrt{\alpha_1} L + K\Omega^2 = m_1. \\ GE - HD + BI + \Omega^2 L = m_1 \Omega - \alpha_1. \\ HE - ID = -\alpha_1 \Omega + c_1. \\ IE = \Omega c_1. \end{array} \right.$$

avec A, B, D, E déterminés précédemment en fonction de λ .
Après résolution de ce système, on obtient M_+

$$M_+ = \frac{Fs^3 + Gs^2 + Hs + I}{s^2 (s^2 + 2\sqrt{\alpha_1} s + \Omega^2)} \text{ et d'après la relation (4) on peut avoir } \Phi(s); \text{ en effet :}$$

$$\Phi(s) = \frac{[mm_1s^2 + (m+m_1)\alpha_1s + (m+m_1)c_1] [Fs^3 + Gs^2 + Hs + I]}{(As^3 + Bs^2 + Ds + E)(\Omega + s)}$$

La densité spectrale de l'excitation dépendant du paramètre Ω , on voit que $\Phi(s)$ a la même propriété. On déduit que la fonction de transfert globale $H_{\frac{x_1}{x_0}}(s)$ dépend aussi de Ω et par conséquent, la

dispersion de l'accélération de l'objet à vibro-isoler (m_1) s'en trouvera influencée.

Déterminons donc $\left| H_{\frac{x_1}{x_0}}(j\omega) \right|^2$:

$$H_{\frac{x_1}{x_0}}(s) = \frac{\bar{x}_1}{\bar{x}_0} = \frac{\bar{x}_1}{\bar{x}} \cdot \frac{\bar{x}}{\bar{x}_0} = H_{\frac{x_1}{x}}(s) \cdot H_{\frac{x}{x_0}}(s)$$

$$H_{\frac{x_1}{x_0}}(s) = \frac{(m_1s^2 + \alpha_1s + c_1)(Fs^3 + Gs^2 + Hs + I)}{(As^3 + Bs^2 + Ds + E)(\Omega + s)}$$

$$H_{\frac{x}{x_0}}(s) = \frac{\alpha_1s + c_1}{m_1s^2 + \alpha_1s + c_1}$$

$$H_{\frac{x_1}{x_0}}(s) = \frac{(\alpha_1s + c_1)(Fs^3 + Gs^2 + Hs + I)}{(As^3 + Bs^2 + Ds + E)(\Omega + s)}$$

d'où,

$$H_{\frac{x_1}{x_0}}(j\omega) = \frac{[F\alpha_1\omega^4 - (\alpha_1H + c_1G)\omega^2 + c_1I] + j[(\alpha_1I + c_1H)\omega - \omega^3(\alpha_1G + c_1F)]}{[A\omega^4 - (B\Omega + D)\omega^2 + E\Omega] + j[(D\Omega + E)\omega - \omega^3(A\Omega + B)]}$$

$$\left| H_{\frac{x_1}{x_0}}(j\omega) \right|^2 = \frac{[F\alpha_1\omega^4 - (\alpha_1H + c_1G)\omega^2 + c_1I]^2 + [(\alpha_1I + c_1H)\omega - \omega^3(\alpha_1G + c_1F)]^2}{[A\omega^4 - (B\Omega + D)\omega^2 + E\Omega]^2 + [(D\Omega + E)\omega - \omega^3(A\Omega + B)]^2}$$

On aura ainsi les courbes suivantes :

Si l'on se borne à admettre seulement les fréquences positives, la fonction $S(w)$ étant paire, on considérera la moitié à droite en doublant l'aire limitée par cette moitié de la courbe.

avec la condition $\Omega \sqrt{3\Omega^2 - 4\alpha_1} > 1$

maximum au point $w = 0 = \pm \sqrt{1 + \Omega \sqrt{3\Omega^2 - 4\alpha_1}}$
 maximum aux points $w = 0$

possède :

on determine facilement l'allure de la courbe, cette dernière

$$S_{x_0}(w) = \frac{2\alpha_1 N^2}{\Omega^2 + w^2} \cdot \frac{w^4 - w^2(2\Omega^2 - 4\alpha_1) + \Omega^4}{w^4 + \Omega^4}$$

$$* S_{x_0}(w) = \frac{2\alpha_1 N^2}{\Omega^2 - \Omega^2} \cdot \frac{w^4 + \Omega^4(2\Omega^2 - 4\alpha_1) + \Omega^4}{w^4 + \Omega^4} \leftarrow$$

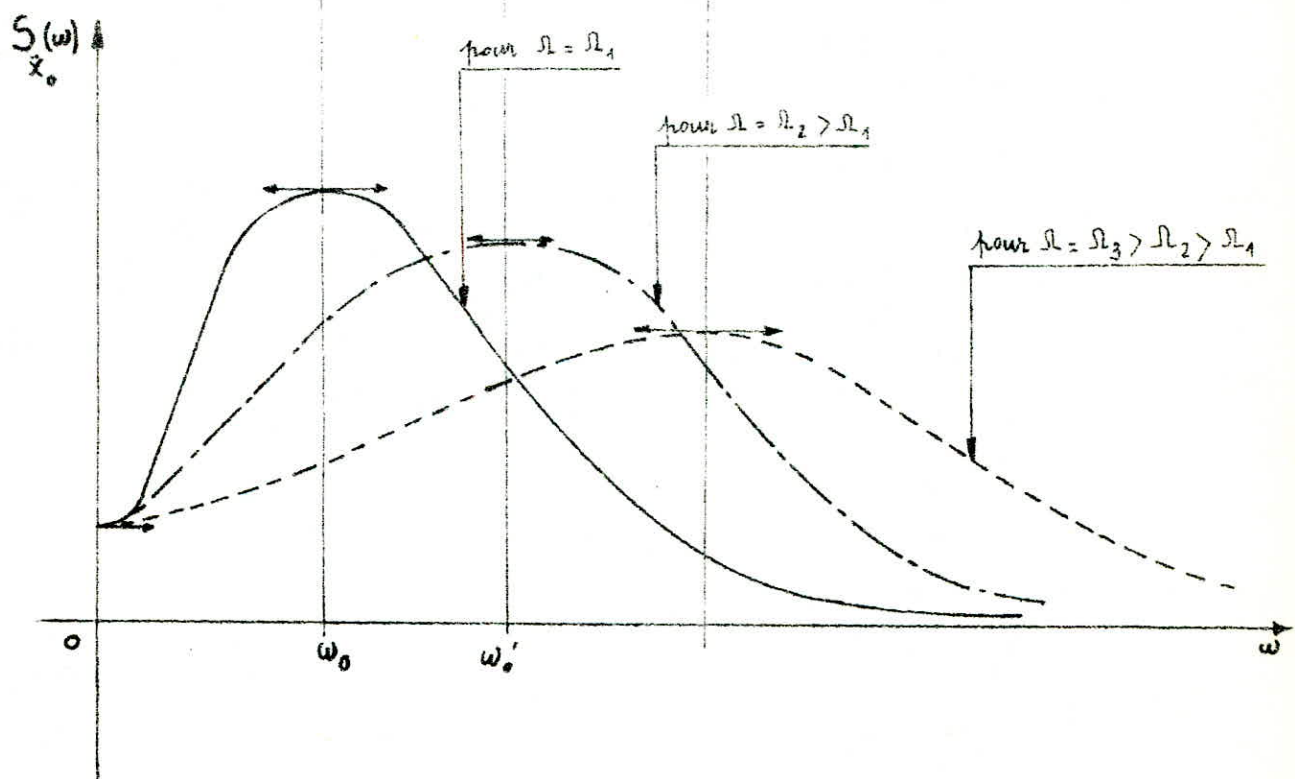
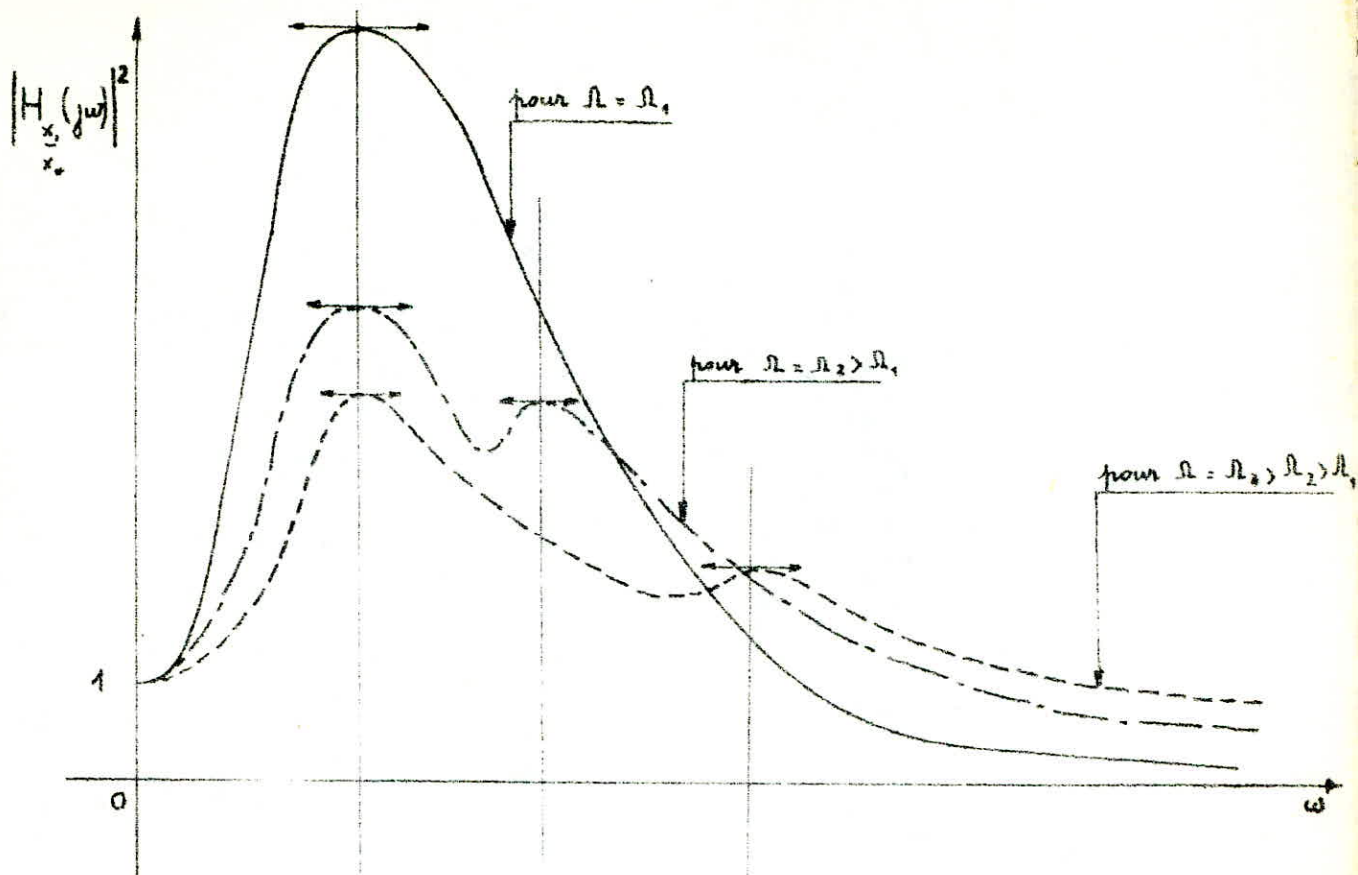
et pour λ très grand (cas où l'on a matrice ultra-isolation) $|H(jw)|^2 \rightarrow 0$

Quand $w \rightarrow \infty$, $|H(jw)|^2 \rightarrow \frac{A^2}{F^2 \alpha_1^2} = \frac{A^2}{F^2 \alpha_1^2} = \frac{\lambda}{\alpha_1^2 \lambda}$

* Pour $w = 0$, $|H(jw)|^2 = \frac{c_1^2 I^2}{c_2^2 I^2} = 1$ avec $\Omega \neq 0$

Traçons, en fonction de w , les courbes $|H(jw)|^2$ et $S_{x_0}(w)$ pour différentes valeurs de Ω .

$$|H(jw)|^2 = \frac{F_2^2 \alpha_1^2 w^6 + w^6 [2F_2 \alpha_1 c_1 I + (\alpha_1 c_1 + c_1 F)]^2 + w^6 [2(\alpha_1 c_1 + c_1 F) - 2(\alpha_1 c_1 + c_1 F)]^2 + w^6 [(\alpha_1 I + c_1 H)]^2 + w^6 [(\alpha_1 I + c_1 F)]^2}{A^2 w^6 + w^6 [(A_2 + B)^2 - 2A(B_2 + D)] + w^6 [2AE_2 + (B_2 + D)^2 - 2(A_2 + B)(D_2 + E)] + w^6 [(D_2 + E)^2 - 2E_2(B_2 + D)] + E_2^2 \Omega^2}$$



Interpretation des courbes :

Pour $\Omega = \Omega_1$, la courbe $|H(j\omega)|^2$ passe par un seul "maximal" (dérivée nulle) ce qui correspond au point ω_0 où la courbe $S_{\ddot{x}_0}(\omega)$ passe par son maximum.

Lorsque Ω devient de plus en plus grand, on distingue deux points de résonance, le premier au point ω_0 et le deuxième au point ω'_0 où la courbe $S_{\ddot{x}_0}(\omega)$ passe par son maximum, cette dernière s'étire vers la droite ce qui fait diminuer son maximum.

De même, on remarque que ces points de résonance font correspondre des extremas de plus en plus faibles quand Ω croît.

On déduit que l'on a meilleure vibro-isolation quand Ω est grand, car $|H(j\omega)|^2$ s'en trouvera diminué et par conséquent \ddot{x}_i^2 le sera aussi.

Cette étude en fréquence nous a permis donc de conclure que le paramètre Ω a une grande influence sur la qualité du système de vibro-isolation optimum.

Réalisation physique des systèmes de vibro-isolation optimum :

Après l'obtention de la relation donnant la fonction de transfert optimum du système de vibro-isolation pour une forme d'excitation donnée, la réalisation physique de ce système se fera par l'intermédiaire de systèmes actifs et passifs ou de l'un d'entre eux seulement, combinant les uns et les autres en mesurant, à chaque cas, la dispersion de l'accélération de l'objet, jusqu'à l'obtention d'une valeur voisine de celle donnée par le cas optimum.

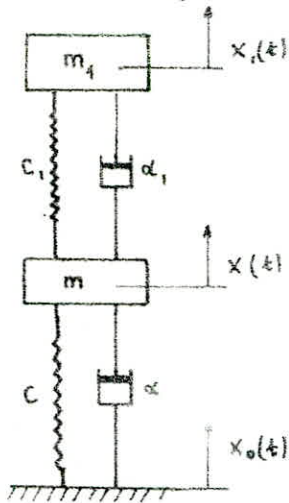
Notons que dans le cas où le système à vibro-isoler est un corps rigide représenté par une masse m et l'excitation étant une forme de bruit blanc par ex. pl., la réalisation physique du système de vibro-isolation optimum est constituée par un système passif dont les paramètres sont donnés en fonction de β ou λ (multiplicateur de Lagrange).

4-Comparaison des resultats

Pour ce faire, on considerera un systeme particulier auquel on calculera la fonction de transfert globale $H_{\frac{x_1}{x_0}}(s)$ et on comparera cette

derniere avec celle relative au cas où l'on a un systeme de vibration optimum.

Soit le systeme suivant :



$$H_{\frac{x_1}{x_0}}(s) = H_{\frac{x_1}{x}}(s) \cdot H_{\frac{x}{x_0}}(s)$$

Determinons $H_{\frac{x}{x_0}}(s)$ relative à ce cas de figure :

$$m \ddot{x} = -c(x-x_0) - \alpha(\dot{x}-\dot{x}_0) + c_1(x_1-x) + \alpha_1(\dot{x}_1-\dot{x})$$

$$m s^2 \bar{x}(s) = -\bar{x}(s) \left[(\alpha s + c) + (\alpha_1 s + c_1) \right] + \bar{x}_0(s) (\alpha s + c) + \bar{x}_1(s) (\alpha_1 s + c_1)$$

comme : $\frac{\bar{x}_1(s)}{\bar{x}(s)} = \frac{\alpha_1 s + c_1}{m_1 s^2 + \alpha_1 s + c_1}$, on a :

$$\bar{x}(s) \left[m s^2 + (\alpha s + c) + (\alpha_1 s + c_1) - \frac{(\alpha_1 s + c_1)^2}{m_1 s^2 + \alpha_1 s + c_1} \right] = \bar{x}_0(s) (\alpha s + c)$$

$$\bar{x}(s) \left\{ \left[m s^2 + (\alpha s + c) + (\alpha_1 s + c_1) \right] \left[m_1 s^2 + \alpha_1 s + c_1 \right] - (\alpha_1 s + c_1)^2 \right\} = \bar{x}_0(s) (\alpha s + c) (m_1 s^2 + \alpha_1 s + c_1)$$

$$\bar{x}(s) \left[m m_1 s^4 + (\alpha_1 s + c_1)(m + m_1) s^2 + (\alpha s + c)(\alpha_1 s + c_1) + m_1 (\alpha s + c) s^2 \right] = \bar{x}_0(s) (\alpha s + c) (m_1 s^2 + \alpha_1 s + c_1)$$

$$\text{Soit } H_{\frac{x}{x_0}}(s) = \frac{m_1 \alpha s^3 + s^2 (m_1 c + \alpha \alpha_1) + s (\alpha c_1 + c \alpha_1) + c c_1}{m m_1 s^4 + s^3 [\alpha_1 (m + m_1) + \alpha m_1] + s^2 [c_1 (m + m_1) + c m_1 + \alpha \alpha_1] + s (c_1 \alpha + \alpha_1 c) + c c_1}$$

$$H_{\frac{x_1}{x}}(s) = \frac{\alpha_1 s + c_1}{m_1 s^2 + \alpha_1 s + c_1}, \text{ d'où on obtient } H_{\frac{x_1}{x_0}}(s) :$$

$$H_{\frac{x_1}{x_0}}(s) = \frac{(\alpha_1 + c)(\alpha_1 s + c_1)}{mm_1 s^4 + s^3 [\alpha_1(m+m_1) + \alpha m_1] + s^2 [c_1(m+m_1) + cm_1 + \alpha \alpha_1] + s(c_1 \alpha + \alpha_1 c) + cc_1}$$

$$\text{soit : } H_{\frac{x_1}{x_0}}(s) = \frac{\alpha \alpha_1 s^2 + s(\alpha c_1 + \alpha_1 c) + cc_1}{mm_1 s^4 + s^3 [\alpha_1(m+m_1) + \alpha m_1] + s^2 [c_1(m+m_1) + cm_1 + \alpha \alpha_1] + s(c_1 \alpha + \alpha_1 c) + cc_1}$$

Dans le cas où l'on a un système de vibro-isolation optimum on a, compte tenu de la relation (5) :

$$H_{\frac{x_1}{x_0}}(s) \Big|_{\text{opt}} = \frac{\alpha_1 s + c_1}{(A s^3 + B s^2 + D s + E) \cdot \frac{P(s)}{R(-s)}} \Big|_+$$

En comparant $H_{\frac{x_1}{x_0}}(s)$ et $H_{\frac{x_1}{x_0}}(s) \Big|_{\text{opt}}$, on remarque que la première

depend de la masse m servant de support pour le système de vibro-isolation existant entre les deux masses m et m_1 , au contraire de la deuxième. Cette dépendance se repercute sur la dispersion de l'accélération de l'objet m_1 , à la façon suivante :

$$\sigma_{\frac{x_1}{x_0}}^2 = N_1^2 \frac{N_1}{D_1} \quad \text{pour le cas d'une excitation par un bruit blanc } S_{\ddot{x}_0}(s) = N^2$$

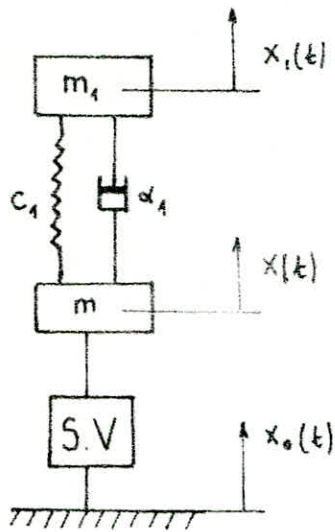
avec :

$$N_1 = -mm_1 \alpha_1^2 \alpha^3 c_1 - mm_1 \alpha^2 \alpha_1^3 c - m^2 m_1 \alpha^2 \alpha_1 c_1^2 - m^2 m_1 \alpha_1^3 c^2 - mm_1^2 \alpha^3 c_1^2 - mm_1^2 \alpha \alpha_1^2 c^2 + \\ - mm_1^2 \alpha^2 \alpha_1 c_1^2 - mm_1^2 \alpha_1^3 c^2 - m^3 m_1 \alpha_1 c c_1^2 - m^2 m_1 \alpha \alpha_1^2 c c_1 - 2m^2 m_1^2 \alpha_1 c c_1^2 - mm_1^2 \alpha^2 \alpha_1 c c_1 + \\ - mm_1^3 \alpha c c_1^2 - mm_1^3 \alpha c^2 c_1 - mm_1^2 \alpha \alpha_1^2 c c_1 - mm_1^3 \alpha_1 c^2 c_1 - mm_1^3 \alpha_1 c c_1^2$$

$$D_1 = 2mm_1 (2mm_1 \alpha \alpha_1 c c_1 - m^2 \alpha \alpha_1 c_1^2 - m \alpha^2 \alpha_1^2 c_1 - 2mm_1 \alpha \alpha_1 c_1^2 - m_1 \alpha^3 \alpha_1 c_1 - m_1^2 \alpha^2 c_1^2 + \\ - m_1 \alpha^2 \alpha_1^2 c_1 - m_1^2 \alpha \alpha_1 c_1^2 - m \alpha \alpha_1^3 c - m_1 \alpha^2 \alpha_1^2 c - m_1^2 \alpha \alpha_1 c^2 - m_1 \alpha \alpha_1^3 c - m_1^2 \alpha_1^2 c^2)$$

On voit que, et N_1 et D_1 dependent de m . L'utilisation de ce système de vibro-isolation nécessite donc l'étude de l'optimisation du rapport $\frac{N_1}{D_1}$.

5. Determination de $\sigma_{\ddot{x}_1}^2$ (respectivement de $\sigma_{x-x_0}^2$) à partir de $\sigma_{x-x_0}^2$ (respectivement de $\sigma_{\ddot{x}_1}^2$) tout en respectant le critère d'optimisation :



Le critère d'optimisation est donnée par la fonctionnelle :

$$C = \sigma_{x-x_0}^2 + \lambda \sigma_{\ddot{x}_1}^2 = \text{minimum},$$

critère nous donnant la fonction de transfert optimale du système de vibration $H_{\frac{x}{x_0}}(s)$, connaissant la

densité spectrale de l'accélération, $S_{\ddot{x}_0}(s)$, de l'excitation.

($H_{\frac{x}{x_0}}(s)$ est donnée par la relation (5))

Déterminons $\sigma_{x-x_0}^2$ et $\sigma_{\ddot{x}_1}^2$ en fonction de λ :

on sait que :

$$\left. \begin{aligned} \sigma_{\ddot{x}_1}^2 &= \frac{1}{2\pi} \int_{-\infty}^{\infty} \left| H_{\frac{\ddot{x}_1}{\ddot{x}_0}}(j\omega) \right|^2 S_{\ddot{x}_0}(\omega) d\omega \\ \sigma_{x-x_0}^2 &= \frac{1}{2\pi} \int_{-\infty}^{\infty} \left| H_{\frac{x-x_0}{\ddot{x}_0}}(j\omega) \right|^2 S_{\ddot{x}_0}(\omega) d\omega \end{aligned} \right\} \begin{array}{l} \text{Dispersion de l'écart } x-x_0 \\ \text{et de l'accélération } \ddot{x}_1, \end{array}$$

avec : * $H_{\frac{x_1}{x_0}}(s) = H_{\frac{x_1}{x}}(s) \times H_{\frac{x}{x_0}}(s)$ où $H_{\frac{x_1}{x}}(s) = \frac{\alpha_1 s + C_1}{m_1 s^2 + \alpha_1 s + C_1}$

* $H_{\frac{x-x_0}{\ddot{x}_0}}(s) = \frac{\bar{x}(s) - \bar{x}_0(s)}{s^2 \bar{x}_0(s)} = \frac{1}{s^2} \left[\frac{\bar{x}(s)}{\bar{x}_0(s)} - 1 \right] = \frac{1}{s^2} \left[H_{\frac{x}{x_0}}(s) - 1 \right]$

Effectuons le calcul en question pour le cas où l'excitation est un bruit blanc ($S(\omega) = N^2 = \text{constante}$).

D'après la relation (5) on a :
$$H_{\frac{x}{x_0}}(s) = \frac{m_1 s^2 + \alpha_1 s + c_1}{(A s^3 + B s^2 + D s + E)} \left\{ \frac{f(s)}{R(-s)} \right\}_+$$

On a vu (Paragraphe 2.3) que :

$$f(s) = \frac{1}{s^2} \quad \text{et} \quad \left\{ \frac{f(s)}{R(-s)} \right\}_+ = \frac{(-\alpha_1 E + c_1 D) s + c_1 E}{E^2 s^2}$$

Donc :
$$H_{\frac{x}{x_0}}(s) = \frac{(m_1 s^2 + \alpha_1 s + c_1) [(-\alpha_1 c_1 + c_1 D) s + c_1^2]}{(A s^3 + B s^2 + D s + E) \cdot E^2 s^2 \cdot \frac{1}{s^2}}; (6) \quad \text{avec} \quad E = c_1.$$

* Calcul de $\tilde{\sigma}_{\ddot{x}_1}^2$:

$$H_{\frac{x_1}{x_0}}(s) = H_{\frac{x_1}{x}}(s) \cdot H_{\frac{x}{x_0}}(s) \quad \text{avec} \quad H_{\frac{x_1}{x}}(s) = \frac{\alpha_1 s + c_1}{m_1 s^2 + \alpha_1 s + c_1}$$

Donc
$$H_{\frac{x_1}{x_0}}(s) = \frac{(\alpha_1 s + c_1) [(-\alpha_1 c_1 + c_1 D) s + c_1^2]}{c_1^2 (A s^3 + B s^2 + D s + c_1)} \quad \text{soit,}$$

$$H_{\frac{x_1}{x_0}}(s) = \frac{\alpha_1 (-\alpha_1 + D) s^2 + c_1 D s + c_1^2}{c_1 (A s^3 + B s^2 + D s + c_1)} \quad \text{d'où,}$$

$$H_{\frac{x_1}{x_0}}(j\omega) = \frac{c_1^2 - \alpha_1 (-\alpha_1 + D) \omega^2 + j c_1 D \omega}{(c_1^2 - c_1 B \omega^2) + j (c_1 D \omega - c_1 A \omega^3)} \quad \text{et donc :}$$

$$\tilde{\sigma}_{\ddot{x}_1}^2 = N^2 \cdot \frac{1}{2\pi} \int_{-\infty}^{\infty} \frac{[c_1^2 - \alpha_1 (-\alpha_1 + D) \omega^2]^2 + c_1^2 D^2 \omega^2}{|(c_1^2 - c_1 B \omega^2) + j (c_1 D \omega - c_1 A \omega^3)|^2} d\omega, \quad \text{soit :}$$

$$\tilde{\sigma}_{\ddot{x}_1}^2 = N^2 \cdot \frac{-D \alpha_1^2 (-\alpha_1 + D)^2 + 2 A c_1^2 \alpha_1 (-\alpha_1 + D) - A c_1^2 (D^2 + B c_1)}{2 A c_1^2 (A c_1 - B D)}; (7)$$

* Calcul de $\sigma_{x-x_0}^2$:

$$\text{on determine } H_{\frac{x-x_0}{\ddot{x}_0}}(\lambda) = \frac{[m_1(-\alpha_1 E + c_1 D) - A E^2] \lambda + [m_1 c_1 E + \alpha_1(-\alpha_1 E + c_1 D)^2 - B E^2]}{A E^2 \lambda^3 + B E^2 \lambda^2 + D E^2 \lambda + E^3}$$

avec $E = c_1$

$$\text{D'où : } \sigma_{x-x_0}^2 = N^2 \cdot \frac{1}{2\pi} \int_{-\infty}^{\infty} \frac{[m_1 c_1^2 + \alpha_1 c_1(-\alpha_1 + D) - B c_1^2]^2 + \omega^2 [m_1 c_1(-\alpha_1 + D) - A c_1^2]^2}{|(c_1^3 - B c_1^2 \omega^2) + j(D c_1^2 \omega - A c_1^2 \omega^3)|^2} d\omega$$

soit :

$$\sigma_{x-x_0}^2 = N^2 \cdot \frac{-A c_1 [m_1(-\alpha_1 + D) - A c_1^2]^2 - A B [m_1 c_1 + \alpha_1(-\alpha_1 + D) - B c_1]^2}{2 A c_1^3 (A c_1 - B D)} ; \quad (8)$$

A, B et D étant des fonctions de λ , $\sigma_{\ddot{x}_1}^2$ et $\sigma_{x-x_0}^2$ dependent donc aussi de λ .

Pour illustrer la détermination de $\sigma_{\ddot{x}_1}^2$ (ou de $\sigma_{x-x_0}^2$) à partir de $\sigma_{x-x_0}^2$ (ou de $\sigma_{\ddot{x}_1}^2$) tout en respectant le critère d'optimisation, considérons un exemple auquel on effectuera ce calcul :

Soit le cas le plus fréquent où l'on desire vibro-isoler un modèle dynamique d'un homme opérateur (conducteur d'un véhicule, le modèle dynamique étant le fauteuil avec son système de vibro-isolation).

Les données sont :

La masse $m_1 = 80,862 \text{ Kg}$.
 Le ressort $c_1 = 7961,05 \text{ Kg/s}^2$.
 L'amortisseur $\alpha_1 = 141,688 \text{ Kg/s}$.

La détermination de la fonction optimum du système de vibro-isolation nécessite, en premier lieu, la résolution du système d'équations en A, B, D et E suivant :

$$(I) \begin{cases} A = \alpha_1 \sqrt{\lambda} \\ B^2 - 2\alpha_1 \sqrt{\lambda} D = m_1^2 + \lambda c_1^2 \\ 2B c_1 - D^2 = 2m_1 c_1 - \alpha_1^2 \\ E = c_1 \end{cases}$$

λ étant le multiplicateur de Lagrange variant de 0 à $l'∞$.

Pour ce faire, utilisons la méthode de NEWTON, basée sur les approximations successives :

Le système (I) peut se mettre sous la forme :

$$(II) \begin{cases} A = \alpha_1 \sqrt{\lambda} \\ f(x) = B^2 - 2\alpha_1 \sqrt{\lambda} D - (m_1^2 + \lambda c_1^2) = 0 \\ f_1(x) = 2Bc_1 - D^2 - (2m_1 c_1 - \alpha_1^2) = 0 \\ \downarrow \\ E = c_1 \end{cases}$$

où x est le vecteur $\begin{pmatrix} B \\ D \end{pmatrix}$, et si l'on pose $f = \begin{pmatrix} f_1 \\ f_2 \end{pmatrix}$, le système s'écrit comme suit :

$$(III) \begin{cases} A = \alpha_1 \sqrt{\lambda} \\ f(x) = 0 \\ E = c_1 \end{cases}$$

L'algorithme permettant de résoudre ce système conservera seulement la résolution de l'équation $f(x) = 0$ représentant au juste un système de deux équations à deux inconnues non linéaire et paramétré, le paramètre étant λ . A et E sont directement donnés par leur relation.

Soit $[A]$ la matrice : $[A] = \begin{bmatrix} \frac{-2D}{\Delta} & \frac{2\alpha_1 \sqrt{\lambda}}{\Delta} \\ \frac{-2c_1}{\Delta} & \frac{2B}{\Delta} \end{bmatrix}$,

avec $\Delta = 4\alpha_1 c_1 \sqrt{\lambda} - 4BD$.

Pour l'établissement du programme permettant de résoudre le système, utilisons les notations :

$$\begin{array}{lll} x(1) = A & S = \alpha_1 & Z = [A] \times f(x) \\ x(2) = B & R = m_1 & V = \Delta \\ x(3) = D & C = c_1 & P = \lambda \\ x(4) = E & & \end{array}$$

De même, posons $\lambda = \lambda_0 \cdot \frac{P}{1 - \beta}$, β variera donc de 0 à 1

avec, par exemple, un pas de 0,1, et $\lambda_0 = 1 [s^4]$

Dans le programme $\beta = H$.

* Pour le cas où l'excitation est un bruit blanc, la fonction de transfert optimum du système de vibro-isolation est donnée par la relation (6) (paragraphe 2.5) et les dispersions $\sigma_{\bar{x}_i}^2$ et $\sigma_{x-x_0}^2$ par les relations (7) et (8).

La détermination de A, B, D et E en fonction de λ nous donnera $\sigma_{\bar{x}_i}^2$ et $\sigma_{x-x_0}^2$ en fonction de λ . Ainsi, posons dans le programme $\sigma_{\bar{x}_i}^2 = T$ et $\sigma_{x-x_0}^2 = D$

Le programme est le suivant :

```

DIMENSION A(2,2), X(4), F(2), Z(2)
H = 0.
X(1) = 0.0000
X(2) = 0.1
X(3) = 2.
X(4) = 79.6105
S = 1.41688
R = 0.080862
C = 79.6105
600 U = 0
P = 0
V = 0
P = P + H / (1. - H)
B = SQRT (P)
U = U + B
I = 1
J = I + 1
K = J + 1
L = K + 1
F(I) = X(J) ** 2 - 2 * S * U * X(K) - (R ** 2 + P * C ** 2)
F(J) = 2 * X(J) * C - X(K) ** 2 - (2 * R * C - S ** 2)
Y = ABS (F(I))
B = ABS (F(J))
IF (Y .LT. 0.0001) GO TO 700
GO TO 500
700 IF (B .LT. 0.0001) GO TO 400
GO TO 500

```

```

400 X(I) = S * U
    WRITE ( , 200) (X(I), I = 1, 4)
200 FORMAT (2X, 3HX1 = , F12.5, 2X, 3HX2 = , F12.5, 2X, 3HX3 =
1 , F12.5, 2X, 3HX4 = , F12.5)
    DEN = 0.
    DN = 0
    TN = 0.
    T = 0.
    D = 0.
    DEN = DEN + 2 * X(I) * (C**2) * (X(I) * C - X(J) * X(K))
    TN = TN - X(K) * (S**2) * ((X(K) - S)**2)
    TN = TN + 2 * X(I) * (C**2) * S * (X(K) - S)
    TN = TN - X(I) * (C**2) * ((X(K)**2) + X(J) * C)
    DN = DN - X(I) * C * ((R * (X(K) - S) - X(I) * C)**2)
    DN = DN - X(I) * X(J) * ((R * C + S * (X(K) - S) - X(J) * C)**2)
    T = TN / DEN
    D = DN / (C * DEN)
    WRITE ( , 202) T, D
202 FORMAT (2X, 2HT = , F12.5, 2X, 2HD = , F12.5)
    H = H + 0.1
    IF (H .EQ. 1.0) GO TO 900
    GO TO 600
500 V = V + 4 * S * C * U - 4 * X(J) * X(K)
    A(I, I) = - 2 * X(K) / V
    A(I, J) = 2 * S * U / V
    A(J, I) = - 2 * C / V
    A(J, J) = 2 * X(J) / V
    Z(I) = A(I, I) * F(I) + A(I, J) * F(J)
    Z(J) = A(J, I) * F(I) + A(J, J) * F(J)
    X(J) = X(J) - Z(I)
    X(K) = X(K) - Z(J)
    GO TO 600
900 STOP
    END

```

La resolution du systeme nous donnera les resultats suivants :

figure 1 :

Ech : $\frac{1}{200}$

$\left\{ \begin{array}{l} B \text{ [Kg]} \\ D \text{ [Kg/sec]} \\ E \text{ [Kg/sec}^2\text{]} \end{array} \right.$

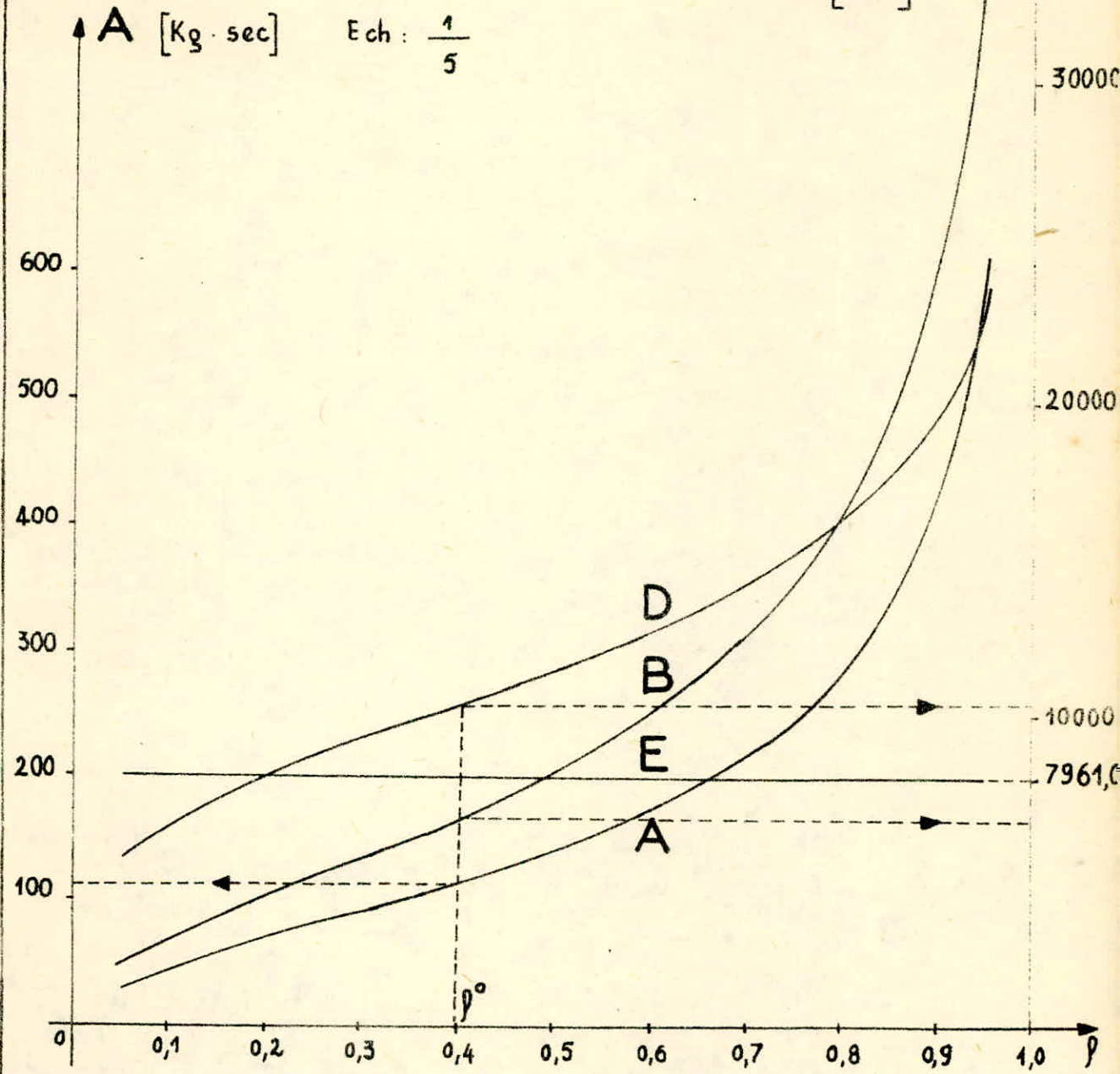
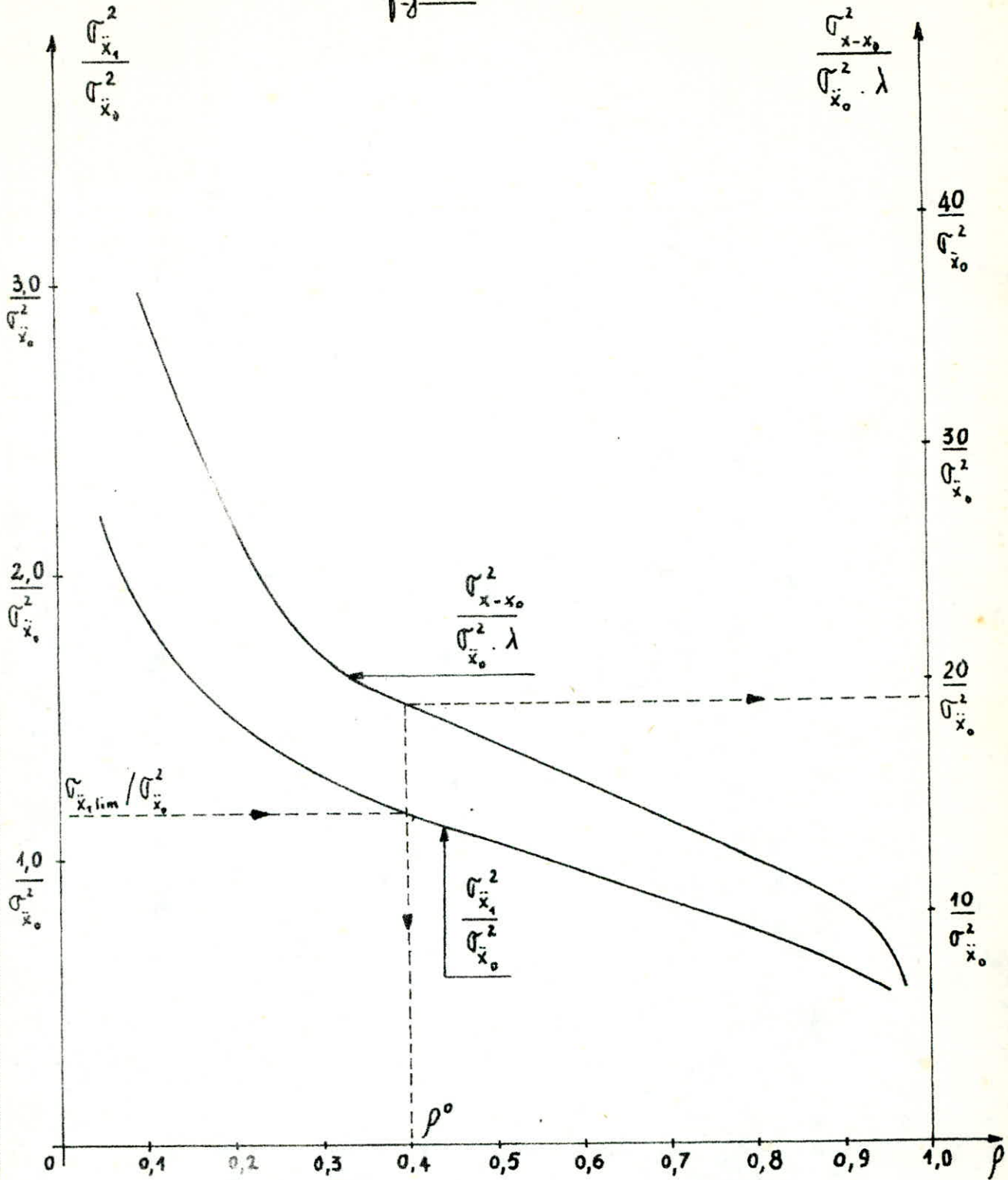


figure 2 :



Interpretation des resultats :

En limitant par expte $\sigma_{\bar{x}_1}^2$ à une valeur $\sigma_{\bar{x}_1, \text{lim}}^2$, on determine la valeur de ρ correspondante (dans notre cas, $\rho = 0,4$) et la valeur de $\sigma_{x-x_0}^2$ correspondante respectant ainsi le critere d'optimisation.

Ayant la valeur de β , on détermine les coefficients A, B, D et E et l'on déduit la fonction de transfert du système de vibro-isolation optimum.

Dans notre cas $\beta = 0,4$, on a :

$$\begin{aligned} A &= 1\,156,9 & [\text{KG} \cdot \text{sec}] \\ B &= 66\,811,3 & [\text{KG}] \\ D &= 103\,086,8 & [\text{KG}/\text{sec}] \\ E &= 79\,610,5 & [\text{KG}/\text{sec}^2] \end{aligned}$$

La fonction de transfert du S.V optimum est : d'après (6),

$$H_{\frac{x}{x_0}}(s) = \frac{m_1 s^2 + \alpha_1 s + c_1}{(A s^3 + B s^2 + D s + E) \cdot \frac{1}{s^2}} \cdot \frac{(-\alpha_1 E + c_1 D) s + c_1 E}{E^2 s^2}$$

$$H_{\frac{x}{x_0}}(s) = \frac{m_1 (-\alpha_1 E + c_1 D) s^3 + s^2 [m_1 c_1 E + \alpha_1 (-\alpha_1 E + c_1 D)] + s [\alpha_1 c_1 E + c_1 (-\alpha_1 E + c_1 D)] + c_1^2 E}{A E^2 s^3 + B E^2 s^2 + D E^2 s + E^3}$$

$$H_{\frac{x}{x_0}}(s) = \frac{8,22 s^3 + 150,5 s^2 + 8206,8 s + 6337,8}{92,1 s^3 + 5348,9 s^2 + 8206,8 s + 6337,8}$$

* Pour le cas où l'excitation est telle que $S_{\frac{x}{x_0}}(s) = 2 \alpha_1 N^2 \frac{\Omega^2 - s^2}{(\Omega^2 + s^2)^2 - 4 \alpha_1 s^2}$

La détermination de la fonction de transfert du système de vibro-isolation optimum nécessite la résolution du système d'équations (donné au paragraphe I.3.b) en F, G, H, I, J, K et L suivant :

$$\left\{ \begin{aligned} -AF + 0 \cdot G + 0 \cdot H + 0 \cdot I + 1 \cdot J + 0 \cdot K + 0 \cdot L &= 0 \\ 0 \cdot F + E \cdot G - D \cdot H + B \cdot I + 0 \cdot J + 0 \cdot K + \Omega^2 \cdot L &= m_1 \Omega - \alpha_1 \\ 0 \cdot F + 0 \cdot G + E \cdot H - D \cdot I + 0 \cdot J + 0 \cdot K + 0 \cdot L &= -\alpha_1 \Omega + c_1 \\ 0 \cdot F + 0 \cdot G + 0 \cdot H + E \cdot I + 0 \cdot J + 0 \cdot K + 0 \cdot L &= \Omega c_1 \\ B \cdot F - A \cdot G + 0 \cdot H + 0 \cdot I + 2\sqrt{\alpha_1} J + 1 \cdot K + 0 \cdot L &= 0 \\ -D \cdot F + B \cdot G - A \cdot H + 0 \cdot I + \Omega^2 J + 2\sqrt{\alpha_1} K + 1 \cdot L &= 0 \\ E \cdot F - 0 \cdot G + B \cdot H - A \cdot I + 0 \cdot J + \Omega^2 K + 2\sqrt{\alpha_1} L &= m_1 \cdot \end{aligned} \right.$$

Utilisons la méthode de GAUSS :

$$\begin{array}{cccc} \text{En posant} & x(1) = F & x(3) = H & x(5) = J & x(7) = L \\ & x(2) = G & x(4) = I & x(6) = K & \end{array}$$

on peut écrire le système précédent de la façon :

$$A(1,1)x(1) + A(1,2)x(2) + \dots + A(1,7)x(7) = A(1,8)$$

$$A(2,1)x(1) + A(2,2)x(2) + \dots + A(2,7)x(7) = A(2,8)$$

$$\dots$$

$$A(7,1)x(1) + A(7,2)x(2) + \dots + A(7,7)x(7) = A(7,8)$$

avec :

$$A(1,1) = -A ; A(1,2) = A(1,3) = A(1,4) = A(1,6) = A(1,7) = 0 ; A(1,5) = 1$$

$$A(2,1) = A(2,5) = A(2,6) = 0 ; A(2,2) = E ; A(2,3) = -D ; A(2,4) = B ; A(2,7) = \Omega^2$$

$$A(3,1) = A(3,2) = A(3,5) = A(3,6) = A(3,7) = 0 ; A(3,3) = E ; A(3,4) = -D$$

$$A(4,1) = A(4,2) = A(4,3) = A(4,5) = A(4,6) = A(4,7) = 0 ; A(4,4) = E$$

$$A(5,1) = B ; A(5,2) = -A ; A(5,3) = A(5,4) = A(5,7) = 0 ; A(5,5) = 2\sqrt{\alpha_4} ; A(5,6) =$$

$$A(6,1) = -D ; A(6,2) = B ; A(6,3) = -A ; A(6,4) = 0 ; A(6,5) = \Omega^2 ; A(6,6) = 2\sqrt{\alpha_4} ; A(6,7) =$$

$$A(7,1) = E ; A(7,2) = -D ; A(7,3) = B ; A(7,4) = -A ; A(7,5) = 0 ; A(7,6) = \Omega^2 ; A(7,7) =$$

$$A(1,8) = A(5,8) = A(6,8) = 0 ; A(2,8) = m_4 \Omega - \alpha_4 ; A(3,8) = -\alpha_4 \Omega + c_4 ; A(4,8) = \Omega$$

$$A(7,8) = m_4 .$$

Soit :

$$* B(J) = B(1,J) = A(1,J) / A(1,1) ; J = 2, \dots, 8$$

$$A(I,J,1) = C(I,J) = A(I,J) - A(I,1) B(1,J) ; I = 2, \dots, 7 ; J = 2, \dots, 8 .$$

$$* D(J) = B(2,J,1) = A(2,J,1) / A(2,2,1) ; J = 3, \dots, 8 .$$

$$P(I,J) = A(I,J,2) = A(I,J,1) - A(I,2,1) B(2,J,1) ; I = 3, \dots, 7 ; J = 3, \dots, 8$$

$$* Q(J) = B(3,J,2) = A(3,J,2) / A(3,3,2) ; J = 4, \dots, 8 .$$

$$R(I,J) = A(I,J,3) = A(I,J,2) - A(I,3,2) B(3,J,2) ; I = 4, \dots, 7 ; J = 4, \dots, 8$$

$$* S(J) = B(4,J,3) = A(4,J,3) / A(4,4,3) ; J = 5, \dots, 8$$

$$T(I,J) = A(I,J,4) = A(I,J,3) - A(I,4,3) B(4,J,3) ; I = 5, 6, 7 ; J = 5, \dots, 8$$

$$* V(J) = B(5,J,4) = A(5,J,4) / A(5,5,4) ; J = 6, 7, 8 .$$

$$W(I,J) = A(I,J,5) = A(I,J,4) - A(I,5,4) B(5,J,4) ; I = 6, 7 ; J = 6, 7, 8 .$$

$$* Y(J) = B(6,J,5) = A(6,J,5) / A(6,6,5) ; J = 7, 8$$

$$Z(I,J) = A(I,J,6) = A(I,J,5) - A(I,6,5) B(6,J,5) ; I = 7 ; J = 7, 8$$

$$* \phi(J) = B(7,J,6) = A(7,J,6) / A(7,7,6) ; J = 8$$

On déduit ensuite :

$$x(7) = B(7,8,6)$$

$$x(6) = B(6,8,5) - B(6,7,5) x(7)$$

$$x(5) = B(5,8,4) - B(5,7,4) x(7) - B(5,6,4) x(6)$$

$$x(4) = B(4,8,3) - B(4,7,3) x(7) - B(4,6,3) x(6) - B(4,5,3) x(5)$$

$$x(3) = B(3,8,2) - B(3,7,2) x(7) - B(3,6,2) x(6) - B(3,5,2) x(5) - B(3,4,2) x(4)$$

$$x(2) = B(2,8,1) - B(2,7,1) x(7) - B(2,6,1) x(6) - B(2,5,1) x(5) - B(2,4,1) x(4) - B(2,3,1) x(3)$$

$$x(1) = B(1,8) - B(1,7) x(7) - B(1,6) x(6) - B(1,5) x(5) - B(1,4) x(4) - B(1,3) x(3) - B(1,2) x(2)$$

Posons $\Omega = \Omega_0 \cdot \frac{\delta}{1-\delta}$ δ allant de 0 à 0,9 par pas de 0,1,
 $\Omega_0 = 1$.

Etablissement du programme pour la résolution de ce système.

posons $\delta \rightarrow Q$, $\Omega = \Phi$.

DIMENSION $Y(7,8), A(7), B(7), C(6,7), D(6), P(5,6), Q(5), R(4,5), S(4), T(3,4), V(3),$

$W(2,3), Y(2), Z(1,2), \Phi(1), A(2,2), X(4), F(2), Z(2)$

$H = 0$.

calcul de $x(I)$ ($I = 1, 4$)

Determination de T, D

$Q = 0$.

$\Phi = 0$.

300

$\Phi = Q / (1 - Q)$

$Y(1,1) = -x(1)$

$Y(1,2) = 0$.

$Y(1,3) = 0$.

$Y(1,4) = 0$.

$Y(1,5) = 1$.

$Y(1,6) = 0$.

$Y(1,7) = 0$.

$Y(1,8) = x(1)$

$Y(2,1) = 0$.

$Y(2,2) = x(4)$

$Y(2,3) = -x(3)$

$Y(2,4) = -x(2)$

$Y(2,5) = 0$.

$Y(2,6) = 0$.

$Y(2,7) = \Phi \times 2$

$$Y(2,8) = R * \phi - S$$

$$Y(3,1) = 0.$$

$$Y(3,2) = 0.$$

$$Y(3,3) = X(4)$$

$$Y(3,4) = -X(3)$$

$$Y(3,5) = 0.$$

$$Y(3,6) = 0.$$

$$Y(3,7) = 0.$$

$$Y(3,8) = S * \phi + C$$

$$Y(4,1) = 0.$$

$$Y(4,2) = 0.$$

$$Y(4,3) = 0.$$

$$Y(4,4) = X(4)$$

$$Y(4,5) = 0.$$

$$Y(4,6) = 0.$$

$$Y(4,7) = 0.$$

$$Y(4,8) = \phi * C$$

$$Y(5,1) = X(2)$$

$$Y(5,2) = -X(1)$$

$$Y(5,3) = 0.$$

$$Y(5,4) = 0.$$

$$Y(5,5) = 2 * \text{SQRT}(S)$$

$$Y(5,6) = 1.$$

$$Y(5,7) = 0.$$

$$Y(5,8) = 0.$$

$$Y(6,1) = -X(3)$$

$$Y(6,2) = X(2)$$

$$Y(6,3) = -X(1)$$

$$Y(6,4) = 0.$$

$$Y(6,5) = \phi * 2$$

$$Y(6,6) = 2 * \text{SQRT}(S)$$

$$Y(6,7) = 1.$$

$$Y(6,8) = 0.$$

$$Y(7,1) = X(4)$$

$$Y(7,2) = -X(3)$$

$Y(7,3) = X(2)$
 $Y(7,4) = -X(1)$
 $Y(7,5) = 0.$
 $Y(7,6) = \phi \times \times 2$
 $Y(7,7) = 2 \times \text{SQRT}(5)$
 $Y(7,8) = R$
DØ 1 J = 2,8
1 $B(J) = A(1,J) / A(1,1)$
DØ 2 I = 2,7
DØ 3 J = 2,8
3 $C(I,J) = Y(I,J) - Y(I,1) \times B(J)$
2 CONTINUE
DØ 4 J = 3,8
4 $D(J) = C(2,J) / C(2,2)$
DØ 5 I = 3,7
DØ 6 J = 3,8
6 $P(I,J) = C(I,J) - C(I,2) \times D(J)$
5 CONTINUE
DØ 7 J = 4,8
7 $Q(J) = P(3,J) / P(3,3)$
DØ 8 I = 4,7
DØ 9 J = 4,8
9 $R(I,J) = P(I,J) - P(I,3) \times Q(J)$
8 CONTINUE
DØ 10 J = 5,8
10 $S(J) = R(4,J) / R(4,4)$
DØ 11 I = 5,7
DØ 12 J = 5,8
12 $T(I,J) = R(I,J) - R(I,4) \times S(J)$
11 CONTINUE
DØ 13 J = 6,8
13 $V(J) = T(5,J) / T(5,5)$
DØ 14 I = 6,7
DØ 15 J = 6,8
15 $W(I,J) = T(I,J) - T(I,5) \times V(J)$ -71-

```

14 CONTINUE
   DØ 16 J = 7,8
16 Y(J) = W(6,J) / W(6,6)
   DØ 17 J = 7,8
17 Z(7,J) = W(7,J) - W(7,6) * Y(J)
   Ø(8) = Z(7,8) / Z(7,7)
   A(7) = Ø(8)
   A(6) = Y(8) - Y(7) * A(7)
   A(5) = V(8) - V(7) * A(7) - V(6) * A(6)
   A(4) = S(8) - S(7) * A(7) - S(6) * A(6) - S(5) * A(5)
   A(3) = Q(8) - Q(7) * A(7) - Q(6) * A(6) - Q(5) * A(5) - Q(4) * A(4)
   A(2) = D(8) - D(7) * A(7) - D(6) * A(6) - D(5) * A(5) - D(4) * A(4) - D(3) * A(3)
   A(1) = B(8) - B(7) * A(7) - B(6) * A(6) - B(5) * A(5) - B(4) * A(4) - B(3) * A(3) - B(2) * A(2)
   WRITE ( , 204) A(I) (I = 1,4)
204 FORMAT('A(1) = ' F10.3, 2X, 'A(2) = ' F10.3, 2X, 'A(3) = ' F10.3, 2X, 'A(4) = ' F10.3)
   Q = Q + 0.1
   IF (Q.EQ.1.) GØ TØ 900
   GØ TØ 300
   H = H + 0.1
   IF (H.EQ.1) GØ TØ 500
   GØ TØ 600
   STØP
   END

```

Après résolution du système, on obtiendra la fonction de transfert du S.V optimum :

$$H_x(s) = \frac{(ms^2 + a_1s + c_1)(Fs^3 + Gs^2 + Hs + I)}{s_0 (As^3 + Bs^2 + Ds + E)(\Omega + s)}$$

ce qui nous permettra de déterminer $\sigma_{\ddot{x}}$ et $\sigma_{x-x_0}^2$ et procéder comme dans le cas précédent (excitation par un bruit blanc).

Résultat fort intéressant, mais malheureusement, il est actuellement pratiquement impossible à avoir, vu le manque de moyens pour y aboutir, c'est à dire, il n'y a pas d'ordinateur.

VI. CONCLUSION

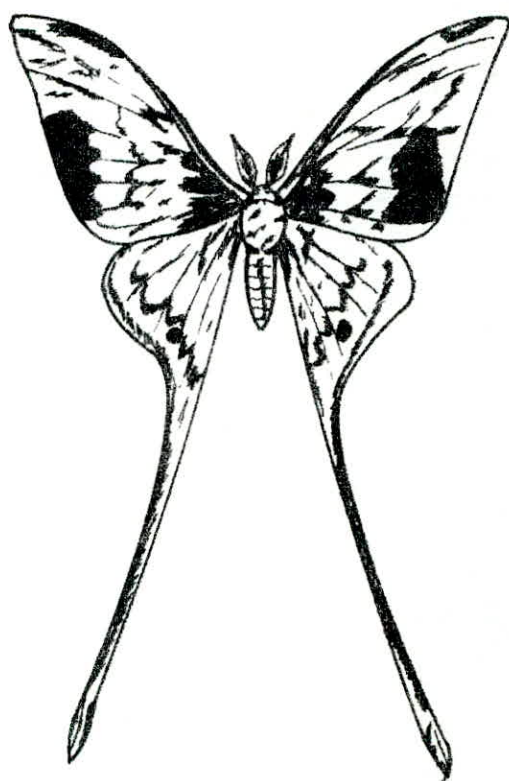
1. Cette théorie nous permet de trouver le système optimum de vibro-isolation d'objets considérés comme des modèles à paramètres discrets, et en tenant compte des hypothèses énoncées au paragraphe III-2, dont la plus importante concerne la linéarité du système de vibro-isolation que l'on suppose, stable et réalisable.

La détermination de ce système de vibro-isolation est faite en partant de la minimisation de la fonctionnelle $C = \sigma_{x-x_0}^2 + \lambda \sigma_{\ddot{x}}^2$, cette dernière étant élaborée en tenant compte des cas fréquents rencontrables.

Toutefois, on peut dire que cette méthode est tout à fait générale et peut-être utilisée pour la résolution de n'importe quel problème de vibro-isolation.

2. En général, la réalisation physique des systèmes de vibro-isolation peut-être obtenue par combinaison de systèmes actifs et passifs, mais dans des cas particuliers ($S_{\ddot{x}_0} = \text{cte}$, système à vibro-isoler = corps rigide représenté par une masse m), le système optimum de vibro-isolation peut être un système passif dont les paramètres sont exprimés en fonction de β (ou λ , multiplicateur de Lagrange).
3. Lors d'une excitation par un bruit blanc ($S_{\ddot{x}_0}(s) = \text{cte} = N^2$), les paramètres du système de vibro-isolation décrit par $\Phi(s)$ dépendent seulement de la structure de l'objet à vibro-isoler.
Dans le cas où l'on a des vibrations forcées dans l'état permanent, la fonction $\Phi(s)$ dépend de la structure du système à vibro-isoler et de la densité spectrale de l'excitation.
4. La théorie ainsi développée concerne en particulier la vibro-isolation de systèmes à paramètres discrets et pourra peut être être complétée par la vibro-isolation de systèmes à paramètres continus, étude qui s'avère plus sérieuse vu son application dans la vie courante.
5. Rappelons enfin que dans cette étude, il est omis de donner des notions jugées toutefois faciles à trouver dans des ouvrages, telles les transformations de Fourier, de Laplace La bibliographie

donnés en fin de memoire palliera quelque peu à cette "deficiencie" voulu



BIBLIOGRAPHIE

1. G.C. Newton, Jr. L.A. Gould, J.F. Kaiser.
"Analytical Design of Linear Feedback Controls"
New York, John Wiley & Sons, Inc. London 1957.
2. J. Halcombe Laning, Richard H. Baltin.
"Random Processes in Automatic Control"
Mc Graw-Hill Book Company, Inc. New York, Toronto, London 1956.
3. J.S. Bendat.
"Principles and Applications of Random Noise Theory"
New York, John Wiley & Sons, Inc. 1958.
4. Alexandru Spătaru.
"Théorie de la Transmission de l'Information."
Tome 1: Signaux et Bruits "
Editura Tehnică, Bucarest 1970.
5. J. Ortusi.
"Etude Mathématique des Circuits de l'Electronique."
Tome 2: Synthèse des circuits "
Dunod - Paris 1965
6. V.V. Solodovnikov.
"Dynamique Statistique des Systemes Lineaires de Commande
Automatique".
Dunod - Paris 1965.
7. Politechnika Poznańska. Materiały dla studiów doktoranckich
i podyplomowych. Nr 2.
"Metody probabilistyczne w teorii drgań nieliniowych"
Poznan 1974.

8. Marek Książek
Thèse de Doctorat.
Kraków 1978.

